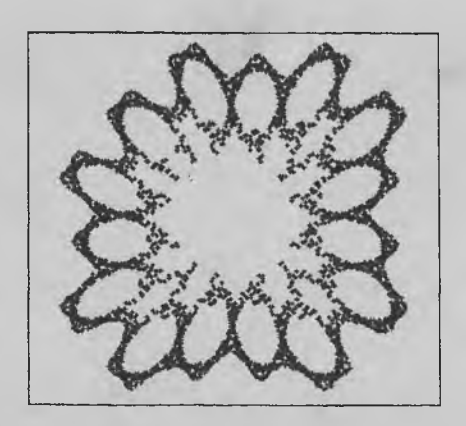
Московский государственный университет им. М.В.Ломоносова факультет вычислительной математики и кибернетики



Б.М.Павлов, М.Д.Новиков

Вычислительный практикум по исследованию нелинейных разностных систем (итерируемых отображений)

Учебное пособие для студентов факультета ВМК МГУ



58166

УДК 519.6+517.938 ББК 22.18

Павлов Б.М., Новиков М.Д. Вычислительный практикум по исследованию нелинейных разностных систем (итерируемых отображений). - Учебное пособие - М.: МГУ, 1998. - 78 с.

Издательский отдел факультета ВМК МГУ (лицензия ЛР №040777 от 23.07.96).

Учебное пособие посвящено изучению в компьютерном практикуме нелинейных математических моделей в виде систем разностных уравнений (итерируемых отображений) по методологии вычислительного эксперимента. В отличие от моделей в виде систем обыкновенных дифференциальных уравнений, которые только при размерности №3 могут порождать динамический (детерминированный) хаос, нелинейные отображения уже с размерности N=1 могут приводить к регулярной и хаотической (стохастической) динамике, что существенно упрощает изучение элементов динамики и синергетики. Основная цель пособия - научить студентов идентифицировать различные типы асимптотического поведения рещений систем нелинейных отображений (их "самоорганизацию" в дискретном времени) в зависимости от значений параметров и начальных условий с помощью применения в студенческих программах интерактивного диалога и компьютерной графики для визуализации результатов вычислений. Для практикума из научной литературы и из Web-источников Internet отобраны и тщательно проверены авторами модели с богатым спектром поведения. Приведены краткие сведения из теории нелинейных отображений и краткий словарь терминов целинейной динамики.

Для студентов университетов и вузов, обучающихся по специальностям "прикладная математика" и "информатика", а также для студентов - гуманитариев и школьников старших классов в качестве введения в мир простейших нелинейных моделей.

> Рецензенты: В.Г.Сушко, д.ф.-м.н., профессор С.И.Мухин, к.ф.-м.н., доцент

Печатается по решению Редакционно-издательского совета вычислительной математики и кибернетики МГУ им.М.В.Ломоносова.

ISBN 5-89407-027-9



отлел

Содержание

Предисловие	4
Раздел 1. Формулировка типового задания	7
1.1. Математическая модель типового задания	
1.2. Требования к программе. Некоторые рекомендации	
1.3. Как идентифицировать динамическое поведение модели	10
Раздел 2. Краткие теоретические сведения о нелинейных	
разностных системах (итерируемых отображениях)	13
2.1. Модели детерминированных систем	13
2.2. Точечные отображения. Основные понятия	14
2.3. Метод сечений и отображений Пуанкаре	16
2.4. Отображения: неподвижные точки, устойчивость,	
бифуркации	20
2.5.Показатели Ляпунова	
2.6.Диаграмма Ламерея - Кенигса	29
2.7. Логистическое отображение. Последовательность	
неустойчивостей, ведущая к хаосу. Закон М.Фейгенбаума.	33
Бифуркационная диаграмма.	
2.8. Разностные системы с запаздывающими аргументами	37
2.9.Признаки хаотической динамики	39
2.10. Дополнительные способы идентификации динамики	
отображений	40
Раздел 3. Индивидуальные задания на нелинейные	
итерируемые отображения	43
3.1.Одномерные отображения	43
3.2.Системы двумерных и трехмерных отображений	48
Раздел 4. Иллюстративный материал (2D и 3D системы)	57
Раздел 5. Словарь терминов нелинейной динамики	68
Литература	77

Предисловие

"Вероятно, для всех нас было бы гораздо лучше, если бы не только при обучении или в научной работе, но и в повседневной политической и экономической жизни как можно большее число людей поняло, что простые динамические системы не обязательно приводят к простому поведению".

Р.Мэй

Современные учебные программы ряда передовых университетов и вузов России включают практикумы и лабораторные работы по математическому моделированию с применением компьютеров.

Успехи в преподавании и обучении студентов в практикумах зависят не столько от технической базы, сколько от традиционных средств: методики обучения, учебно-методических пособий, от хорощо продуманных и совержительных заданий и упражнений. Немалую роль играют возможности развития стимулов у студентов к творческой, исследовательской работе в процессе выполнения вланий практикума.

ствержительные модели с разпообразным и необычным поведением препоставляет пелинейная динамика, наука постоянно развивающаяся и имскопам межлисциплинарный характер. Нелинейная динамика изучает математических молелей повеление пелинейных (являющихся математическим описанием реальных процессов с физике, химии, биологии, экономике и других дисциплинах) во времени и пространстве в зависимости от начальных состояний и внешних воздействий, задаваемых параметрически. Понять динамику конкретной модели означает выяснить все возможные виды ее поведения при произвольных начальных данных и изменении парамстров. т.е. необходимо исследовать не частное решение при конкретных заданных условиях, а поведение в целом. Полное представление об исследуемой модели дает разбиение просгранства ее параметров на области с качественно различным поведением модели. Очень важно отметить, что без компьютеров исследование нелинейных моделей практически невозможно.

Математические модели в нелинейной динамике могут быть детерминированными и вероятностными. Детерминированные модели, описываемые эволюционными системами уравнений, в свою очередь, могут быть точечными (эволюция происходит только во времени) и распределенными (изменения происходят во времени и пространстве), консервативными и диссипативными, дифференциальными и разностными, в

том числе и с запаздывающими аргументами. Точные определения многих терминов нелинейной динамики можно найти в разделе 5 данного пособия.

Для первоначального знакомства с нелинейным миром важно правильно выбрать класс моделей нелинейной динамики, пригодный для использования в студенческом практикуме - в смысле сложности получения и анализа решений "в целом", потребности в компьютерных ресурсах, трудностей у преподавателей с проверкой результатов, а у студентов - с тестированием алгоритмов и программ. На наш взгляд, наиболее подходит для практикума по изучению нелинейных моделей класс точечных детерминированных моделей. причем на первом этапе обучения - в форме разностных систем (итерируемых отображений) с дискретным временем, а на втором этапе - в форме систем обыкновенных дифференциальных уравнений (ОДУ) с непрерывным временем. Оба вида систем могут иметь переменные с запаздывающими аргументами. Размерность систем - №4, что вполне достаточно для целей обучения.

Отбор содержательных по смыслу, интересных в познавательном плане и посильных студентам нелинейных моделей представляет весьма трудоемкую работу составителя набора индивидуальных заданий для студентов. Этот процесс подразумевает: поиск моделей в научной, учебной литературе и в Web-источниках, осмысление моделей (разные предметные области) и проверку их на компьютере в различных режимах; формулировку индивидуального задания для конкретной модели (фактически небольшого исследовательского проекта) в рамках типового задания; подготовку ряда эталонных примеров по каждому индивидуальному заданию для удобства контроля преподавателем работы студента в практикуме. Желательно, чтобы итоги такой работы были опубликованы в форме учебного или методического пособия с включением в него необходимых теоретических сведений.

Павловым Б.М. был реализован такой подход в [11] при подготовке учебного пособия по нелинейным моделям в форме систем ОДУ и используется в данном учебном пособии, ориентированном на изучение более простых, чем ОДУ, разностных систем, но с не менее разнообразным поведением решений.

Знакомство с нелинейными <u>одномерными</u> отображениями полезно и посильно студентам-гуманитариям и школьникам.

В данном учебном пособии в разделе 1 сформулировано типовое студенческое задание, раздел 2 посвящен теоретическим сведениям, в разделе 3 представлены более 30 одно-, двух- и трехмерных нелинейных отображений и заданий к ним. Раздел 4 включает в себя иллюстративный материал, в разделе 5 приводится словарь терминов, далее - список литературы. Основная

рекомендованная литература из приводимого списка – [3],[4] и [5]. Оригиналмакет пособия подготовлен М.Д.Новиковым, включая весь иллюстративный материал.

Задания для предложенных выше классов систем студенты факультета ВМК МГУ выполняют в практикуме с применением програмирования пользовательского интерфейса, необходимых вычислительных модулей и модулей визуализации результатов расчетов. Студентам других факультетов и вузов, от которых не требуется программировать в практикуме, рекомендуется использовать для выполнения подобных заданий математические пакеты типа Derive, Mathcad, Matematica и MAPLE.

Мы стремимся достичь следующих целей в практикуме по нелинейной линамике:

- 1) обучить студентов технологии вычислительного эксперимента (реализация триады А.А.Самарского "модель-алгоритм-программа");
- 2) познакомить студентов с особенностями нелинейных моделей, необычностью их поведения, стимулируя познание нового, в частности, детерминированного хаоса, бифуркаций и аттракторов;
- 3) научить отслеживать плавную эволюцию решений при изменении одного параметра и, что более трудно, обнаруживать качественные перестройки (бифуркации) решений, которые могут происходить с решениями систем при изменении параметров в заданных диапазонах;
- 4) привить вкус к исследовательской, творческой работе, приучая выполнять аналитическую часть исследования, проектировать красивые интерфейсы и разрешая программировать на любимом языке высокого уровня;
- 5) развить "нелинейное" (синергетическое) мышление, непривычное для классической науки, на основе опыта, приобретаемого в ходе реализации индивидуального задания.

В завершение отметим, что с целью совершенствования обучения и преподавания авторами разработан и применяется в учебном процессе программный комплекс "Нелинейные динамические системы", имеющий характер учебно-исследовательской среды (микромира), автоматизированного практикума и компьютерного задачника для изучения точечных математических моделей в форме дифференциальных, разностных и дифференциально-разностных систем уравнений [13].

Раздел 1. Формулировка типового задания

<u>Главная пель задания</u> - приобретение студентами навыков проведения на компьютере вычислительного эксперимента (ВЭ) с заданной нелинейной математической моделью (ММ), взятой, как правило, из естественных наук и описывающей некоторое явление или процесс в <u>дискретном времени</u> в форме разностной системы N уравнений - <u>системы многократно итерируемых отображений</u>. Разнообразие типов поведения (включая хаотическое) у итерируемых нелинейных отображений проявляется уже с N=1, в то время как у систем обыкновенных дифференциальных уравнений только для N≥3.

Дополнительные цели задания: практика в разработке и отладке на одном из языков высокого уровня комфортного интерфейса для проведения ВЭ исследователем и алгоритмов распознавания типов поведения полученного на компьютере решения конкретной системы на основе теоретических критериев.

<u>Пель отдельных ВЭ</u> - определение точек бифуркаций при вариации параметров, выявление аттракторов и их областей притяжения для диссипативных отображений, нахождение регулярных и стохастических множеств точек для консервативных отображений, идентификация динамического режима в заданных условиях. Для более глубокого осмысления особенностей нелинейных моделей рекомендуется ознакомиться с теоретической частью учебного пособия [11] и разделом 2 данного пособия.

Дапное типовое задание может предлагаться студентам либо как самостоятельное с использованием пакета "Нелинейные динамические системы" [13] (как правило, для непрограммирующих в вычислительном практикуме студентов), либо как первый этап для студентов факультета ВМК МГУ, выполняющих далее более сложное задание по исследованию нелинейной ММ в форме системы ОДУ [11] с непрерывным временем на основе похожего интерфейса, но с применением численного метода интегрирования систем третьего или четвертого порядка [21].

1.1. Математическая модель типового задания

В качестве математической модели предлагается система N разностных уравнений с параметрами, которую можно кратко записать в векторном виде:

 $X(n+1)=F[X(n),n,\mu], X \in \mathbb{R}^{N}, \mu \in \mathbb{R}^{s}.$ (1)

В предлагаемых студентам заданиях число N уравнений не превышает 3, поэтому рассмотрим более подробно частный случай (1) - систему трех уравнений

$$x(n+1)=f_1[x(n),y(n),z(n),n;\mu_1,\mu_2,...,\mu_s]$$

$$y(n+1)=f_2[x(n),y(n),z(n),n;\mu_1,\mu_2,...,\mu_s]$$

$$z(n+1)=f_3[x(n),y(n),z(n),n;\mu_1,\mu_2,...,\mu_s].$$
(2)

В этой системе n - дискретное "время" - номер итерации - независимая переменная $(n=0,1,2,...,n\to\infty)$, X=(x,y,z) - вектор зависимых переменных, μ вектор вещественных параметров или коэффициентов системы, $F=(f_1,f_2,f_3)$ вектор правых частей; по крайней мере одна из f_i предполагается нелинейной функцией зависимых переменных - одной или нескольких; s - числопараметров. При отсутствии явной зависимости вектор-функции F от посистема (2) называется автономной, в противном случае - неавтономной - позаналогии с системой ОДУ.

Параметры μ_j в отдельном ВЭ полагаются заданными числами. Один и параметров (реже - два) - варьируется в серии ВЭ в определенном интервалюдля поиска бифуркационных значений, т.е. точек в пространстве параметров, в которых меняется тип асимптотического поведения решения системы (2) вследствие потери устойчивости либо неподвижной точки, либо периодического или квазипериодического состояния с переходом ж хаотическому (стохастическому) состоянию.

Как и для системы ОДУ, для (2) ставится задача Коши: при n=0 задаются начальные значения x(0)=a, y(0)=b, z(0)=c, от которых начинаются итерацим системы и продолжаются до тех пор (как правило, финальное значение $n_i \approx 10^4$), пока не сформируется типичный аттрактор или своеобразное множество точек в фазовом пространстве R^3 или в его проекциях на фазовыс плоскости. Тройка чисел (a,b,c) обычно выбирается из ε -окрестности любой простой (не кратной) неподвижной точки (н.т.) системы отображений (2), т.е. по правилу:

$$a=x^*+\varepsilon$$
, $b=y^*+\varepsilon$, $c=z^*+\varepsilon$, $0<\varepsilon\le 1$, (3)

где x^* , y^* , z^* - компоненты н.т. X^* в фазовом пространстве R^3 , которые являются аналитическими или численными решениями нелинейной алгебраической или трансцендентной системы уравнений (2) при n=0 и $X_n=X_{n+1}=X^*$:

$$X^*=F(X^*,0;\mu)\equiv G(\mu)$$
 (4)

Найденные в виде формул, они будут явными функциями параметров μ_j . У конкретной системы неподвижных точек X^* может быть более одной - в зависимости от вида нелинейности в f_i (например, квадратичная, кубическая функция по x,y,z и/или от наличия элементарных функций типа экспоненты, логарифма, квадратного корня или тригонометрических функций). Желательно все неподвижные точки найти, если не оговорено другое в условиях задания. После определения числа неподвижных точек и

установления областей их существования в зависимости от варьируемого (бифуркационного) параметра полезно провести линейный анализ их устойчивости при изменении этого параметра в заданном диапазоне. Найденные неподвижные точки полезно проверить при $\varepsilon=0$ для нескольких пачений бифуркационного параметра, итерируя конкретную систему отображений 5 - 10 раз.

Заметим, что в исследовании динамики консервативных отображений нарьируемыми в ВЭ являются <u>начальные условия</u> а,b,c; обычно это оговорено для конкретных моделей.

1.2. Требования к программе. Некоторые рекомендации.

Итерации системы отображений (2) следует проводить "квантами" по К итераций с прерыванием расчета после каждого кванта с целью промежуточного визуального анализа поведения системы и принятия волевого решения о прекращении итерирования или о его продолжении (т.е. выполнить очередной квант расчетов); обычно следует брать $\mathbf{n}_f = 10^4$ и тогда рекомендуется $\mathbf{K} = 500$ или 1000. В памяти компьютера необходимо хранить вектор-решение для всех итераций вплоть до $\mathbf{n} = \mathbf{n}_f$, обеспечивая возможность просмотра решений на экране монитора для любого интервала дискретного времени $[\mathbf{n}_1,\mathbf{n}_2]$, (допускаются, в частности, значения $\mathbf{n}_1 = \mathbf{0}$ и $\mathbf{n}_2 = \mathbf{n}_f$). Надо выводить следующие таблицы и графики: 1)таблицу значений каждой функции \mathbf{X},\mathbf{Y} и \mathbf{Z} (решения системы); 2)таблицу экстремумов одной из функций \mathbf{X},\mathbf{Y} или \mathbf{Z} ; 10 выбору пользователя; 3)график одной из функций \mathbf{X},\mathbf{Y} или \mathbf{Z} ; 5)двумерный фазовый портрет - график в системе координат $(\mathbf{X},\mathbf{Y}),(\mathbf{Y},\mathbf{Z})$ или (\mathbf{X},\mathbf{Z}) .

Интерфейс для организации интерактивной работы студента с программой должен состоять из структурированных "экранов" размещения главного и рабочего меню, а также для размещения графической, текстовой и табличной информации на этапах расчета и анализа. На "титульном" экране должны присутствовать данные о студенте (ф.и.о., номер группы, календарный год), а также название системы и вид отображений. Главное меню служит для задания конкретных значений параметров ці, начальных условий а,ь,с и є, а также количества К шагов итераций на каждом кванте для осуществления одного варианта ВЭ до n=n_f. Рабочее меню служит для выбора дальнейшего действия после каждого кванта из К итераций. Требования к рабочему меню практически такие же, как сформулированные в [11] для исследования систем ОДУ. Кратко - надо выбрать один из возможных вариантов: 1) продожение итерации (на следующем кванте), 2) повтор итерации (на текущем кванте), 3)вывод таблицы или графика, 4)выход в главное меню для изменения параметров или начальных условий (после чего процесс итерирования начинается сначала в новых условиях). Для разностных систем (в отличие от систем ОДУ) не надо задавать параметры численного метода (он не программируется), и термин "интегрирование" заменяется термином "итерирование".

Дадим некоторые рекомендации по построению графиков решении системы отображений.

1)Из-за ограниченной разрешающей способности экрана мониторы компьютера возможно искажение графиков; при больших объемах анализируемых дискретных временных рядов (квантов $[n_1,n_2]$) точки на экране, соединенные отрезками прямой, могут превратиться в сплошную полосу. Для борьбы с этими затруднениями можно предусмотреть режим "лупы" (увеличения масштаба), т.е. большой ряд просматривать порциями. Такой метод очень полезен при изучении фракталов.

3)Надо внимательно следить за масштабом представления данных по каждой из осей координат; масштабы по разным осям обычно различны. Для правильного выбора масштабов необходимо вычислять глобальные экстремумы решений системы отображений на кванте $[n_1,n_2]$.

4)Не забывайте указывать, каким величинам соответствует масштаб по каждой из осей координат; не следует использовать экспоненциальную форму вывода (например, 0.215E+01) как визуально неприятную. Надо использовать формат с фиксированной точкой (выводить "2.15").

5)Надо допустить два режима построения графиков: а)соединять б)нс соединять соседние точки отрезком прямой линии; графический анализ динамики поведения разностной системы иногда удобнее проводить, если точки соединены (обычно при выводе графиков), иногда - если не соединены (обычно при выводе фазовых портретов).

6)Наличие сетки координатных линий на графиках не обязательно; скорее она даже мещает созданию целостного образа о динамике изучаемой разностной системы.

1.3. Как идентифицировать динамическое поведение модели

Возможны следующие типы асимптотического поведения ограниченного (монотонного или колеблющегося) решения системы отображений.

1) Стационарное состояние (или колебание с нулевой амплитудой), возможно, отличное от неподвижной точки, из ε -окрестности которой начато итерирование.

2)Периодическое решение или цикл-P с одинаковым периодом P>1 для каждой компоненты.

- 3) Квазипериодическое решение с двумя или тремя частотами (в фазовом пространстве такому решению соответствуют замкнутые кривые).
- 4) Нерегулярные апериодические колебания (их период Р установить трудно или невозможно даже по очень большому числу итераций).

Первые 3 режима называются <u>регулярными</u>; последний режим называется <u>динамическим хаосом</u> для диссипативных систем и стохастическим режимом для консервативных систем.

В процессе исследования динамики конкретной системы отображений пеобходимо убедиться, что при заданном начальном условии и наборе параметров μ_j ограниченное решение X(n) с ростом п выходит на один из четырех указанных выше режимов. Для идентификации динамического хаоса в случае одномерных отображений (N=1) необходимо одновременно с исходным уравнением итерировать дополнительное уравнение для вычисления показателя Ляпунова - его итоговое положительное значение после n_f итераций свидетельствует о хаотическом поведении решения (см. п. 2.5).

Одной из целей конкретного задания может быть поиск одного или нескольких бифуркационных значений некоторого параметра μ_i с наперед заданной точностью (например, до пяти знаков после запятой) - в этом случае проводится "ручная" пристрелка способом дихотомии в сочетании с визуальным анализом решения на экране, а при N=1 - с оценкой величины $L(\mu_i)$ - показателя Ляпунова.

Следует отметить, что при неправильно заданных начальных условиях (например, є - относительно большое, неправильно найдена неподвижная точка) или при некотором значении бифуркационного параметра решение начинает неограниченно расти монотонным или колебательным образом. Такое явление соответствует обычно неустойчивому динамическому режиму и его полезно идентифицировать заранее в своей программе: если хоть одна компонента системы на любой итерации станет по абсолютной величине больше 10^6 , то необходимо на экран монитора посылать сообщение о такой ситуации, например, "компонента z при k=258 стала > 10^6 ", и прекращать итерирование. При получении такого сообщения следует обдумать, почему это произошло.

 определить число P - период (он больше 100), то такая ситуация свидетельствует о предхаотическом или хаотическом (стохастическом) поведении решения.

Заметим, что в некоторых конкретных системах отображения хаотическое (стохастическое) поведение может возникнуть на ранних итерациях (например, первые 100-200 итераций), а затем превратиться в один из трех возможных регулярных типов; другой возможный случай - участки хаотичности чередуются с участками регулярного поведения (явление так называемой перемежаемости)- см. 2.9.

С целью идентификации асимптотического $(n\to\infty)$ поведения математической модели преподаватель может предложить студенту факультета ВМК МГУ реализовать в своей программе один из следующих дополнительных алгоритмов обработки любого отрезка $[n_1,n_2]$ временного ряда (обычно $n_2=n_f$).

1)Построение бифуркационной диаграммы по одному из параметров модели (см. п.2.7).

2)Построение графика последовательных экстремумов (максимумов или минимумов) для любой функции $Y_i(\pi)$ на отрезке $[n_1,n_2]$ с целью приближенного представления функциональной зависимости $Y_{i,j+1} \approx F(Y_{i,j})$ ($Y_{i,j} = Y_i =$

3) Графическое изображение на плоскости границ и областей изменения а) начальных данных при фиксированных значениях параметров или б) двух параметров, при которых решение системы разностных уравнений остается ограниченным при $n \rightarrow \infty$.

Идентификации динамического поведения способствует режим соединения последовательных точек в фазовой плоскости для двумерных отображений и в плоских проекциях фазовой траектории для трехмерных отображений. На некоторой стадии итерационного процесса могут наблюдаться следующие картинки: 1)замкнутые Р-угольники - это означает, что имеется цикл с периодом Р; 2)"стопка" Р-угольников с немного смещенными границами - означает, что либо это еще не финальная стадия для цикла с периодом Р, либо предхаотический режим; необходима проверка другими дополнительными способами; 3)одно или несколько колец - свидетельствует о квазипериодичности; 4)густо и скачкообразно "заметаемая" область - указывает на хаотичность.

Раздел 2. Краткие теоретические сведения о нелинейных разностных системах (итерируемых отображениях)

2.1. Модели детерминированных систем

В нелинейной динамике детерминированных систем наиболее часто рассматриваются два вила математических молелей: обыкновенные дифференциальные уравнения (или потоки - flows) и разностные уравнения. ппаче называемые итерируемыми отображениями (maps). Математические модели в форме систем обыкновенных дифференциальных уравнений (ОДУ) иня нелей обучения студентов университетов рассмотрены в работе [11] и включены в компьютерный задачник [13]. Определенную качественную и количественную информацию об изучаемом объекте можно получить его эволюции в дискретные моменты времени, посредством анализа рассматривая сечения Пуанкаре (см.2.3). Сечения (отображения) Пуанкаре помогают отличить друг от друга качественно различные типы поведения времени стационарные, периодические, непрерывном молели квазипериодические и хаотические (стохастические). Отображения Пуанкаре имеют специфический вид, похожий, как далее увидим, на итерационный процесс для разностной системы нелинейных уравнений. Разностные системы, как и системы ОДУ, по динамическим свойствам подразделяются на диссипативные. Приведем их основные общие консервативные И характеристики.

Консервативные системы - это динамические системы без диссипации (потерь энергии), энергия в них постоянна - сохраняется во времени; часто их называют гамильтоновыми системами. Если в определенных условиях возникает стохастическое (как бы случайное) поведение консервативной системы, то фазовые траектории (орбиты) решения стремятся однородно заполнить все части некоторого подпространства в фазовом пространстве системы. Критерием консервативности разностной системы вида $X_{n+1} = F(X_n), n, \mu$ (см. 1.1) является равенство единице ее <u>Якобиана</u>.

Диссипативные системы - это динамические системы с потерями энергии, которая в них убывает по различным причинам (например, трение). Для разностных диссипативных систем Якобиан всегда меньше 1, а траектории, если возникают в определенных условиях. хаотические своеобразно заполняют некоторое подпространство фазового пространства: в нем остаются пустоты (для иллюстрации см. пример 4 из п.2.5). Мера степени заполнения траекториями определенного подпространства называется фрактальной размерностью. У диссипативных систем существуют притягивающие множества в фазовом пространстве - аттракторы, простые и <u>странные</u>. Для последних нецелая, фрактальная размерность является как бы визитной карточкой. Графические образы многих странных аттракторов возникающих при итерации различных отображений, приведены в разделе 4

Далее в п.п. 2.2 - 2.10 приведены некоторые теоретические сведения о нелинейных отображениях, необходимые при выполнении задании практикума.

2.2. Точечные отображения. Основные понятия.

Отображением называется набор правил $X \to X'$, ставящих каждому объекту х некоторого класса С в соответствие некоторый объект х' класса (Пусть классы С и С' являются множествами элементов. Тогда отображение записывается в виде f: $C \to C'$. Если $x \in C$, то элемент x' из C', сопоставляемый при отображении f элементу x, обозначается через f(x) и называется образом элемента х (сам х - прообраз элемента х'). Говорят, что х' есть функция f от аргумента х. Область определения функции f - класс С, область значений класс С', или, в общем случае, некоторый подкласс класса С'. Некоторое отображение называется отображением класса С на класс С' или в класс С'. если множеством значений отображения является весь класс С'. Классы С и С' могуг быть различными, но могут и совпадать. Отображение класса С на класс С' называется взаимно однозначным, если существует обратное отображение $x' \to x$, обычно обозначаемое $x'=f^{-1}(x)$. Сами объекты x и x' могут быть множествами некоторых объектов $x_1, x_2, ...$ $(x_1', x_2', ...)$. Таким образом, могут быть определены вектор-функции $f: x' = f(x_1, x_2, ...)$ двух и более аргументов.

Конечные и бесконечные последовательности можно толковать как отображения (функции). Например, конечная последовательность из п элементов $a_1,a_2,...,a_n$ есть отображение $f:\{1,2,...,n\} \to \{a_1,a_2,...,a_n\}$ – такое, что $f(i)=a_i,\ i=1...n$.

При исследовании динамических моделей рассматривают функции, зависящие от времени t. Например, в физическом эксперименте измеряют некоторый сигнал - непрерывную функцию x(t). Ее значения в последовательные моменты t_j называют дискретным временным рядом, записывая как x_j = $x(t_j)$, j=1,2,.... Если измерения сигнала производят через равные промежутки времени Δt , то получают временной ряд $x_1, x_2, ..., x_j, ...$, где номер элемента есть дискретное время. Иногда можно установить явную функциональную связь последующего элемента ряда с предшествующим элементом, что записывают в виде отображения

$$x_{n+1} = f(x_n), n = 1, 2, ...,$$
 (1)

задающего итерационный процесс при заданной функции f. Запись (1) похожа на разностное уравнение для величины x, определенной на равномерной

сстке по времени с шагом Δt (пример - метод Эйлера приближенного решения x = g(x): $x_{n+1} = x_n + \Delta t * g(n) = f(x_n)$. Записи вида (1) привываются итерируемыми отображениями или разностными уравнениями.

В случае многих переменных "х" рассматривается как вектор с N компонентами $\mathbf{x}=(\mathbf{x}^{(1)},\mathbf{x}^{(2)},...,\mathbf{x}^{(N)})$, и тогда (1) представляет систему из N уравнений, где $\mathbf{f}=(\mathbf{f}_1,\mathbf{f}_2,...,\mathbf{f}_N)$ - известная вектор-функция от \mathbf{x} ; N называется размерностью отображения.

К уравнениям вида (1) относятся отображения Пуанкаре, используемые при математическом исследовании нелинейных моделей в форме систем ОДУ с непрерывным временем (см. 2.3). Ввиду важности отображений вида (1) для пелинейной динамики мы далее приводим теоретические сведения именно для таких отображений (скалярных и векторных) в предположении, что f-пелинейная функция x, зависящая, возможно, от одного или нескольких параметров. Нелинейность отображения очень важна, ибо она приводит k существованию различных режимов поведения (типов динамики) в дискретном времени при k0 зависящих от начальных условий при k1 значений параметров.

Приведем два нелинейных отображения, являющихся парадигмами нелинейной динамики.

1)Одномерное логистическое отображение с одним параметром - аналог логистического уравнения Ферхюльста-Кетле (1835 г.)

$$x_{n+1} = a * x_n * (1 - x_n).$$

2) Двумерное отображение с двумя параметрами a,b - система Энона (1976 г.)

$$x_{n+1}=1+y_n-a*x_n^2$$
, $y_{n+1}=b*x_n$.

Эти отображения с квадратичной нелинейностью замечательны тем, что на асимптотической стадии (при очень больших п) обладают характерной динамикой - регулярной или хаотической (стохастической).

Математические методы исследования систем нелинейных отображений с параметрами во многом подобны методам исследования нелинейных систем ОДУ, описанным в [11]. Например, можно найти неподвижные точки отображения, определить их число в зависимости от значений параметров и устойчивость каждой неподвижной точки. Спецификой систем нелинейных отображений по сравнению с системами нелинейных ОДУ является то, что отображения уже при размерности N=1 (и выше) могут порождать динамический хаос (ОДУ - только при $N \ge 3$).

Замечание. Отображения вида (1) часто используются как генераторы псевдослучайных чисел. В работе [30] описан один из генераторов <u>целых</u> псевдослучайных чисел. Используется функция $f(x)=(a*x+c) \mod m$, где a,x,c и

тисла та выражение (α mod m) означает остаток от деления числа от на число m. Приведены рекомендации по выбору x_0 , a,c и m: m следует бранаравным 2^k , где k - количество двоичных разрядов целого числа; x_0 может быть произвольным, например, 1; "a" выбирается из условий $a \pmod 8 = 5$ и $m/100 < a < m - \sqrt{m}$; "c" – нечетное число такое, что $c/m \approx 0.21132$.

По-видимому, многие из моделей раздела 3 для <u>хаотических</u> (стохастических) режимов могут тоже претендовать на роль датчиков псевдослучайных чисел.

2.3. Метод сечений и отображений Пуанкаре.

Напомним (см.[11]), что эволюция нелинейных моделей в непрерывном времени может быть описана системой N обыкновенных дифференциальных уравнений

 $\frac{d}{dt}X(t) = X'(t) = F(X,t), X \in \mathbb{R}^{N}, X = (x_1, x_2, ..., x_N),$ (2)

где R^N - фазовое пространство размерности N, а $F=(f_1,f_2,...,f_N)$ - векторфункция. Заметим, что к виду (2) с помощью подходящей замены переменных всегда можно преобразовать одно дифференциальное уравнение N-го порядка. Систему уравнений (2) иногда называют потоком в R^N . Если F явно от времени не зависит, то поток и система называются автономными, в противном случае - неавтономными.

В случае когда правые части F_i (i=1,2,...N) системы (2) суть <u>нелинейные</u> функции, найти аналитическое выражение для общего решения системы удается крайне редко, т.к. потоки неинтегрируемы в подавляющем большинстве случаев. Поэтому приходится исследовать каждое частное решение, рассматривая соответствующую ему траекторию в фазовом пространстве R^N . Без современных компьютеров и методологии вычислительного эксперимента исследование нелинейных систем (2) выполнить практически невозможно.

Оказывается, можно упростить исходную задачу, если использовать метод, предложенный в начале XX века А.Пуанкаре: метод позволяет в ряде случаев перейти от исследования системы ОДУ в \mathbb{R}^N с непрерывным временем к исследованию системы отображений в \mathbb{R}^{N-1} с дискретным временем. Метод основан на использовании секущих поверхностей, проведенных определенным образом в фазовом пространстве системы (2). На практике использование метода Пуанкаре ограничено трехмерными фазовыми пространствами ($\mathbb{N} \le 3$).

Для иллюстрации метода Пуанкаре рассмотрим диссипативный поток в трехмерном пространстве с координатами Y_1, Y_2, Y_3 , интересуясь

исимптотическим поведением некоторого ограниченного решения (2) при $t \to \infty$ на этапе появления аттрактора. В качестве секущей поверхности S позымем плоскость Y_3 =h=const, выбрав высоту h так, чтобы фазовая трасктория Γ пересекала S трансверсально (не под нулевым углом).

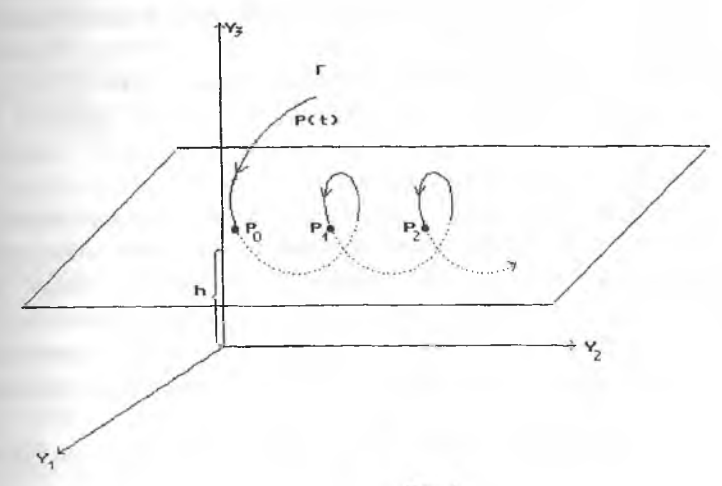


Рис.1

изображен Ha схематически процесс получения рис. последовательности точек $P_0, P_1, ..., P_k, ...,$ через которые траектория Γ проходит в одном и том же направлении: точка Ро - точка начального "протыкания" плоскости S траекторией Г при движении фазовой точки P(t) сверху вниз (например, для заданного направления эволюции (уз'<0), Р1 - точка первого (в момент t₁) протыкания, P₂ - точка второго (в момент t₂) протыкания и т.д. Процедура получения точек Рк такова, что с ростом времени компонента решения у₁(t) непрерывно переходит с одной стороны плоскости S на другую. В результате получим множество точек $\{P_{\nu}\}$, которые и образуют на S сечение Пуанкаре. Если траектория Γ - замкнутая кривая в \mathbb{R}^3 , то множество точек $\{P_k\}$ будет оставаться конечным при $t\to\infty$, в случае незамкнутой кривой Γ множество $\{P_k\}$ будет счетным множеством (например, траектория потока с хаотическим поведением никогда не замыкается, см. [11]). Решение системы (2) единственно (это всегда предполагается), поэтому точка P_0 однозначно определяет точку P_1 , которая в свою очередь определяет точку P_2 и т.д. Таким образом, приходим к определению: *преобразование* $T: P \to T(P)$, которое переводит любую предыдущую точку P_k в следующую P_{k+1} и является непрерывным отображением плоскости S на себя, называется отображением Пуанкаре:

$$P_{k+1} = T(P_k) = T(T(P_{k-1})) = T^2(P_{k-1}) = ... = T^k(P_0).$$

Отметим, что запись точечного отображения Пуанкаре полностью совпадает с видом точечного отображения (1).

Итак, мы показали, что сечение Пуанкаре заменяет эволюцию потока (?) с непрерывным временем отображением Γ в моменты $t_1,t_2,...,t_k,...$, т.е. с дискретным временем. В общем случае интервал времени между любыми соседними точками P_k непостоянен. Множество $\{P_k\}$ является образом фазовой траектории Γ . Если соединить последовательные точки P_k и P_{k+1} отрезками, то получим геометрическое представление сечения Пуанкаре множества $\{P_k\}$ в виде некоторого графа Γ ' на плоскости Γ . Граф Γ ' можно назвать траекторией в фазовом пространстве Γ .

Отображение Пуанкаре обладает теми же свойствами, что и породивший его поток. Например, для консервативного (гамильтонова) потока объемы в фазовом пространстве с течением времени сохраняются, тогда и соответствующее отображение Т будет сохранять элементарные площади на S. Если у диссипативного потока на асимптотической стадии $(t\rightarrow\infty)$ существует аттрактор, то его структурные особенности могут быть выявлены в сечении Пуанкаре.

Метод сечений Пуанкаре упрощает исследование потоков (2) по трем причинам:

- 1.B общем случае поток в R^n сводится к отображению R^{n-1} на себя (понижение размерности на единицу).
- 2.Время дискретизируется и вместо дифференциальных уравнений исследуются разностные (нелинейные алгебраические) уравнения, определяющие отображение $P \rightarrow T(P)$.
- 3.3начительно сокращается объем обрабатываемых данных, так как почти всеми точками на непрерывной траектории Γ можно пренебречь.

Из этих упрощений следуют преимущества математического и численного моделирования: итерации системы $x_{k+1} = T(x_k)$ осуществляются в фазовом пространстве R^{n-1} , отпадает необходимость в использовании того или иного численного метода интегрирования, имеющего определенную погрешность, нет зависимости решений от шага сетки. Тем самым снижаются требования к производительности компьютера, уменьшается общий объем вычислительной работы. Кроме того, траектории в R^3 можно изобразить на листе бумаги (экране монитора) только в перспективе или в проекциях на координатные плоскости, поэтому трудно получить представление о реальном их расположении и структуре сложных аттракторов (с как бы запутанными с кажущимися самопересечениями тракеториями) в трехмерном пространстве (если только не заставить их вращаться в R^3). В то же время сечение Пуанкаре для траекторий ОДУ в R^3 - множество точек, более или менее сложным

образом расположенных в R^2 , может быстро дать удовлетворительный ответ о вырактере поведения потока и типе аттрактора в R^3 .

Структуры множества точек в сечении Пуанкаре и их соответствие позможным типам поведения асимптотического ($t \rightarrow \infty$) решения для потока (2)

характеруются следующей таблицей [4]:

приктеруютей следующе	практеруются следующей таблицей [4].		
Что наблюдается в	Типы колебаний в	Тип аттрактора в \mathbb{R}^3 .	
сечении Пуанкаре.	непрерывном времени.		
1)Конечный набор точек	а)При Р≔1 - периоди-	a)При P=1 - предельный	
(это устойчивые простые	ческие колебания.	цикл, замкнутая	
или Р-кратные	б)При Р≥2 - комбина-	однооборотная орбита.	
неподвижные точки (Р-	ционные колебания с	б)При Р≥2 - замкнутая	
циклы.)	двумя и более	многооборотная орбита.	
	соизмеримыми частотами).		
2)Замкнутая кривая.	Квазипериодические	Однооборотный тор T^2 ,	
	колебания с двумя	поверхность которого	
	несоизмеримыми частота-	всюду плотно покрывается	
	ми (отношение частот -	фазовой траскторией, кото-	
	иррациональное число).	рая нигде не замыкается,	
3) Незамкнутая кривая	Колебания, внешне	Ситуация сложная;	
или несколько	похожие на хаотические.	возможен странный	
криволинейных дуг.		аттрактор.	
4)Конечное число	Квазипериодические ко-	Многооборотный тор T^2	
<u> замкнутых</u> кривых.	лебания с m (m>2)не-	или проскция в R ³ тора T ^r ,	
	соизмеримыми частотами.	т>3.	
5)Множество точек с	Хаотические колебания для	Странный аттрактор	
необычной структурой	диссипативных систем.	(фазовая траектория нигде	
(фрактал).		не замыкается).	
6)Бесформенный набор	а)Стохастические колеба-	а)Стохастическое	
точек ("пыль" или "облака"	ния для консервативных	множество (нет аттрак-	
точек).	систем.	тора).	
	б)Хаотические колебания	б)Странный аттрактор в R ³ .	
	для потоков со слабой		
	диссипацией.		
	в) Квазипериодические	B)Top T ^r ,r≥3.	
	колебания с тремя и более		
	несоизмеримыми		
	доминирующими		
	частотами.		

Используемые в таблице термины (тор, фрактал и др.) поясняются в разделе 5 (словарь терминов).

На практике в экспериментах с физическими моделями динамических процессов множество точек в сечении Пуанкаре получают с помощью специальной аппаратуры и методов (см.[4] и [5]). Это множество точек можно построить и в результате вычислительных экспериментов с математической

моделью в форме системы ОДУ, решив численно эту нелинейную систему Но, зная численное решение, мы практически все можем узнать об особенностях динамики модели (см. [11]); полученные выводы может лишь подтвердить построенное множество в сечении Пуанкаре. Однако физический и численный эксперименты не позволяют установить точный визифункции f(x) в отображениях вида $x_{n+1} = f(x_n)$, особенно для многомерного вектора x.

Возможна постановка обратной задачи. В отображении Пуанкаре задаш конкретный вид нелинейной функции f(x) и требуется определить: каког множество точек возникает при $n\to\infty$ и как его можно соотнести с поведением решений некоторой системы ОДУ (гипотетического потока). Такая постановка требует теоретического исследования отображений вида $x_{n+1} = f(x_n)$, тем более, что к ним приводят и другие модели реальных процессов с дискретным изменением времени (например, в биологии и экономике).

2.4. Отображения: неподвижные точки, устойчивость, бифуркации

Здесь, следуя, в основном, [25], мы приводим необходимые определения и результаты теории (без доказательств), касающиеся N-мерных точечных отображений с параметрами:

 $X_{n+1} = F(X_n,A)$ или кратко, $\overline{X} = F(X,A)$, n=0,1,2,..., (3) где $X = (x^{(1)},x^{(2)},...,x^{(N)})$, $F = (f_1,f_2,...,f_N)$, $A = (a_1,a_2,...,a_s)$. Будем предполагать, что по крайней мере одна их функций f_i является нелинейной функцией хотя бы одного аргумента $x^{(i)}$.

Решение разностной системы (3) легко определяется по рекуррентным формулам (3) на каждом n-м шаге итерации (n \to ∞), если заданы начальные значения - вектор $X^0=X\big|_{n=0}$ и набор значений параметров A.

Числовая последовательность значений компонент векторов $\{X_n\}$ - это по сути дискретный временной ряд, при $N{\ge}2$ - многомерный. Точки последовательности $\{X_n\}$ при $n{\to}\infty$ будут постепенно заполнять фазовое пространство размерности N; если последовательные фазовые точки в R^N соединить отрезком прямой, то полученная ломаная линия и будет фазовой траекторией отображения F на плоскости $(N{=}2)$ или в трехмерном пространстве $(N{=}3)$.

Вид нелинейных функций f_i и наборы фиксированных значений параметров a_i существенно влияют на решения $\{X\}$ системы (3); с ростом п они либо быстро растут (стремятся $\kappa + \infty$ или $-\infty$), либо на больших промежутках времени остаются ограниченными, совершая регулярные (циклические) колебания или нерегулярные (как бы случайные) колебания.

Обычно исследователи интересуются асимптотикой итерационного процесса (3) – поведением решений при очень больших п ($n\sim10^4,10^5$), когда переходные состояния наверняка завершились и можно ожидать появление устойчивой структуры в R^N , например, <u>агграктора</u>.

Отметим имеющиеся аналогии в теоретическом исследовании ОДУ и отображений: это проблема существования неподвижных точек отображений, которые соответствуют состояниям равновесия (особым точкам) систем ОДУ; одинаково важен вопрос об <u>устойчивости</u> неподвижных (особых) точек и периодических траекторий - циклов; определение <u>бифуркаций</u> неподвижных (особых) точек и циклов при изменении параметров как у непрерывной, так и у дискретной модели. Аналог интегральных кривых ОДУ - кривые $x^{(i)}(n)$ отображения (3).

Напомним 2 важных определения применительно к системе (3); здесь считаем, что все параметры a_i – постоянны.

Определение 1. <u>Неподвижной точкой</u> (простой) отображения (3) называется любая точка $X \in \mathbb{R}^N$, являющаяся корнем векторного уравнения

$$G(X) = F(X, A) - X = 0 \tag{4}$$

Из-за нелинейности функций f_i неподвижных точек может быть песколько, они могут и отсутствовать при определенных значениях параметров. Если рассматривать задачу (3) с изменяющимися параметрами, то необходимо определить в пространстве параметров R^s области, для которых в фазовом пространстве R^N существуют неподвижные точки.

<u>Пример 1.</u> Логистическое отображение $x_{n+1}=a*x_n*(1-x_n)$ при $0\le a\le 4$ имеет, как легко видеть, 2 неподвижные точки: $x_1*=0$, $x_2*=(a-1)/a$.

<u>Пример 2.</u> Отображение Энона (также в силу квадратичной нелинейности) имеет 2 неподвижные точки: $x_{1,2}^*=(b-1\pm\sqrt{(b-1)^2+4*a})/(2*a)$, $y_{1,2}^*=b*x_{1,2}^*$. Эти неподвижные точки существуют только при $a>(1-b)^2/4$. Пространство параметров представляет собой плоскость (a,b), на которой областью существования неподвижных точек является криволинейная область {a>(1-b)²/4,0<b≤1}.

Известны два общих критерия существования неподвижной точки.

1) <u>Теорема Брауэра</u> о <u>достаточных</u> условиях существования неподвижной точки (G - конечная область в \mathbb{R}^N).

Любое непрерывное отображение f, преобразующее многомерный шар $x_1^2+x_2^2+...+x_N^2\leq 1$ или любую гомеоморфную шару область \underline{b} себя, имеет b b неподвижную точку b (гомеоморфное отображение - это взаимно однозначное и взаимно непрерывное отображение).

2)<u>Принцип сжимающих отображений</u> С. Банаха. Напомним, что точечное отображение f называется <u>сжимающим</u>, если оно уменьшает

расстояние между любой парой точек, т.е. если для произвольной пары точет М. N и их образов М', N' выполняется неравенство

$$r(M',N') < r(M,N). \tag{1}$$

Пусть G - конечная область многомерного фазового пространстви Основное утверждение принципа Банаха состоит в следующем: если сжимающее отображение F преобразует G в себя, то в G имеется единственная неподвижная точка Х*, причем вся область С при неограниченном повторении отображения F стягивается к ней. Из этого утверждения следует, что последовательные отображения $F(F(X))=F^{2}(X),...$ для любого x из G сходятся к X^{*} .

В случае, когда условие сжимаемости (5) можно усилить так, что для любых $X,Y \in G$

$$r(X',Y') < q * r(X,Y), q < 1,$$

то сходимость последовательности точек к Х* будет не медленнее, чем геометрической прогрессии со знаменателем q.

Принцип Банаха тоже дает лишь достаточные условия существования н.т., но утверждает, что это - единственная и глобально устойчивая неподвижная точка. В тех случаях, когда его удается применить, принцип может обеспечить значительные, подчас исчернывающие сведения о поведении изучаемой системы.

Определение 2. <u>Р-циклом</u> отображения (3) называется любая точка $X \in \mathbb{R}^N$. удовлетворяющая векторному уравнению:

$$G(X) = F^{p}(X) - X = 0, \tag{6}$$

где F^p означает результат применения P раз отображения F к аргументу X, т.е. $F^{p}(X) \equiv F(F(...(F(X))...),$

Употребляются также синонимы понятия "Р-цикл": цикл Р-кратных неподвижных точек, периодическая траектория с периодом Р. На языке числовой последовательности {x_n} Р-цикл составляет множество из Р ее неповторяющихся членов со свойством $x_{n+p} = x_n$ для любого n > 0, т.е. $f(x_1)=x_2, f(x_2)=x_3,..., f(x_n)=x_1.$

Пример 3. Последовательность ...3,1,2,3,1,2,3,1,2,3,1,2,... - периодическая с периодом 3; 3-циклы образуют множества {3,1,2}, {1,2,3} и {2,3,1}.

Приведем несколько фактов о Р-циклах.

1) Логистическое отображение (одномерное) и отображение Энона (двумерное) при различных значениях параметров могут иметь многократные циклы с периодами 2,4,8,16 и т.д. (см. п.2.7).

2)Если с ростом п решение системы (3) выходит на установившийся режим P-цикла, то в фазовом пространстве R^N при больших n будет только Pточек.

3) Если при плавном изменении (например, увеличении) некоторого параметра а; период возникших Р-циклов возрастает (см. п. 2.7), то при дальнейшем увеличении параметра при больших п в R^N возникают либо гладкие замкнутые кривые (одна или несколько), либо своеобразные, даже ок зотические множества точек с так называемой фрактальной структурой (см. споварь).

Определение 3. Производной Шварца одномерного отображения (3) называется функция

 $S[f(x)] = f'''(x)/(f'(x)-1.5*(f''(x)/(f'(x))^2)$ (7)

Для одномерных отображений имеется простой критерий для определения, есть у них циклы или нет [8].

Теорема. Если для некоторой трижды непрерывно дифференцируемой функции f(x), задающей отображение $x_{n+1} = f(x_n)$ производная Шварца отрицательна, то отображение имеет не более одного устойчивого Р-цикла. Если такой цикл существует, то к нему притягиваются почти все траектории отображения.

Замечание. Значение Р данная теорема не определяет.

Пример 4.Для логистического отображения имеем: f"'=0,f"=-2*a,f'=a*(1-2*х). Отсюда $S[f]=-1.5*4*/(1-2*x)^2<0$ для $x\in[0,1], x\neq0.5$, поэтому могут существовать устойчивые Р-циклы с некоторым периодом Р.

Удобным инструментом поиска Р-циклов служит диаграмма Ламерея (см.2.6) и бифуркационная диаграмма (см.2.7).

Следующая задача, возникающая после нахождения неподвижных точек (простых и кратных) - установление их локальной устойчивости или неустойчивости. Алгоритм такой же, как для особых точек систем ОДУ. Напомним его этапы.

1). Линеаризация нелинейной разностной системы около исследуемой неполвижной точки х*.

2) Составление характеристического уравнения

$$et(J-\lambda E)=0, (8)$$

где J - матрица Якоби, $J = \left[\frac{\partial f_i}{\partial x_i} \right]$ для определения собственных значений λ

матрицы. Общее число корней (с учетом кратности) равно N, где N размерность системы.

Пусть уравнение (8) имеет р корней (в общем случае комплексных) внутри единичного круга | λ | ≤1 на комплексной плоскости и q корней вне единичного круга и не имеет корней на границе единичного круга (последний случай сложен и здесь не рассматривается). Найденную неподвижную точку обозначим Ор, ч.

3) Определение устойчивости неподвижной точки x^* по найденица числам p и q: точка $O^{N,0}$ – устойчивая, точка $O^{0,N}$ - неустойчивая, а точки $O^{N-1,1}$,..., $O^{1,N-1}$ - седловые неподвижные точки.

Поведение фазовых траекторий в малой окрестности простоп неподвижной точки х* совершенно такое же, как и в соответствующих случану простых особых точек систем дифференциальных уравнений [25].

Определение 4. Устойчивые неподвижные точки и Р-циклы называются аттракторами, неустойчивые - репеллерами.

Для одномерных отображений существуют аналитические критерии устойчивости простой неподвижной точки и P-цикла.

Теорема Кенигса. Если модуль производной функции f(x), задающей отображение $x_{n+1} = f(x_n)$, меньше 1 в точке x^* , то простая н.т. устойчива, если больше 1, то н.т. неустойчива. Если существует P-цикл и $|f'(x_1)*f'(x_2)*...*f(x_p)| < 1$, то P-цикл устойчив, если $|f'(x_1)*f'(x_2)*...*f(x_p)| > 1$, то P-цикл устойчив, если $|f'(x_1)*f'(x_2)*...*f(x_p)| > 1$, то неустойчив (сравните с условиями теоремы о существовании P-циклов). Случай равенства единице произведения производных соответствует так называемой нейтральной устойчивости.

Пример 5. Рассмотрим двумерное отображение:

$$x_{n+1}=2*x_n+\{y_n\}, y_{n+1}=x+\{y_n\}.$$

Здесь и далее $\{\alpha\}$ означает взятие дробной части от числа α . Якобиан $J=\begin{vmatrix} 2 & 1 \\ 1 & 1 \end{vmatrix}=1$, следовательно, система консервативна. Точка (0,0)

неподвижная, неустойчивая, так как характеристическое уравнение $\det[J-\lambda E]=\lambda^2-3\lambda+1=0$ имеет два действительных положительных корня: один корень меньше 1, другой - больше 1 (произведение корней равно 1). При каждой итерации происходит сжатие в одном направлении и такое же растяжение в другом направлении (см. рис.2 в п.2.6).

В трехмерном случае (N=3) характеристическое уравнение (8) имеет 3 корня. Возможны следующие основные случаи.

- 1. Корни действительные отрицательные (положительные) числа. Особая точка устойчивый (неустойчивый) узел.
- 2.Один корень действительный, два других комплексно-сопряженные, причем все корни имеют отрицательные (положительные) действительные части. Особая точка устойчивый (неустойчивый) фокус.
- 3.Один из корней действительный, два других комплексносопряженные, причем знаки действительного корня и действительной части комплексных корней - разные. Особая точка называется <u>седло-фокусом</u>.
- 4.Все корни действительные и разных знаков: случай соответствует двум типам неподвижной точки, называемой седло-узлом.

Последняя в данном контексте теоретическая проблема - исследование бифуркаций неподвижных точек (простых и кратных) при изменении плачений параметров А отображения (3). Это очень сложная задача, редко решаемая без компьютера. Бифуркации происходят тогда, когда некоторый параметр а_ј, плавно меняясь, проходит через некоторое значение а_{критич}., после чего происходит резкая качественная перестройка: например, рождается повая неподвижная точка, устойчивая и неустойчивая неподвижные точки сливаются, простая н.т. превращается в цикл-2 или цикл-2^k переходит в цикл р^{k+1}. Возможны и другие метаморфозы, связанные с потерей устойчивости пеподвижных точек и Р-циклов, которые могут приводить к хаотизации (стохастизации) регулярных решений. Подобные бифуркации возможны в случае, если один из корней характеристического уравнения (8) "проходит" через единичный круг на комплексной плоскости при изменении значении параметра (т.е. меняются значения р и q). Тип превращений зависит от точки на единичном круге, через которую проходит корень, (т.е. от угла ф, λ =e^{±10}).

Один из путей перехода к хаосу путем "каскада бифуркаций" - бесконечной последовательности удвоения периода Р колебаний рассмотрен в 2.7 на примере одномерного логистического отображения.

2.5.Показатели Ляпунова

Хаос в детерминированных системах подразумевает свойство ЧЗНУ - чувствительную зависимость от начальных условий. Это означает, что две близкие в начальный момент времени траектории в дальнейшем расходятся (удаляются) друг от друга за малое, в среднем, время.

Рассмотрим некоторую дифференциальную или разностную систему. Пусть r_0 - начальное расстояние между траекториями. Предположим, что в течение малого времени t (или п итераций) расстояние г между этими траекториями, изменяется по закону:

$$r(t) \approx r_0 * 2^{L*t}$$
 или $r_n \approx r_0 * 2^{L*n}$, (9)

соответственно, для системы ОДУ и для разностных уравнений (отображений).

Доказано, что, если справедливы формулы (9), то при L>0 ограниченное решение системы хаотично, при L<0 - регулярно. Основание "2" выбрано в соотношениях (9) из соображений удобства; можно выбрать любое основание, большее 1, так как важен лишь знак L.

У N-мерных динамических систем существует спектр $\{\lambda_j\}$, j=1,2,...N <u>показателей Ляпунова</u> (или характеристических показателей), который свидетельствует о том, как с течением времени меняются в фазовом пространстве длины, площади, объемы и гиперобъемы. С вычислительной

точки зрения этот спектр может быть найден по траектории в фазовом пространстве, если она определена из численного решения. Если числа расположить в убывающем порядке $\lambda_1 > \lambda_2 > ... > \lambda_N$, то оказывается, что малые длины изменяются по закону (9), где $L = \lambda_1$, малые площади - по закону $S(t) \approx S_0 * 2^{(\lambda_1 + \lambda_2) \times t}$ (или $S_0 * 2^{(\lambda_1 + \lambda_2) \times t}$), малые объемы - по закону $V(t) \approx V_0 * 2^{(\lambda_1 + \lambda_2 + \lambda_1) \times t}$ и т.д. Для идентификации хаоса достаточно вычислить лишь наибольным показатель Ляпунова.

Рассмотрим, как для разностной системы (3) аналитически вычислить спектр показателей Ляпунова. Обозначим через J_n - произведение п матрии Якоби системы (3) для значений X, равных $X_1, X_2, ..., X_n$. Пусть $j_1(n), j_2(n), ..., j_N(n)$ - собственные значения J_n , расположенные в убывающем порядке. Тогла показатели Ляпунова определяются с помощью предельного перехода

$$\lambda_{i} = \lim_{n \to \infty} \frac{1}{n} \log_{2} |j_{i}(n)| , i = 1, 2, ..., N; L = \lambda_{1}.$$
 (10)

Вычислить L в явном виде без компьютера удается лишь в ограниченном числе учебных моделей. Наиболее просто это можно сделать для одномерных отображений $x_{n+1} = f(x_n)$.

Если функция f(x) гладкая и дифференцируемая, то расстояние между соседними траекториями измеряется величиной |df/dx|. Действительно, введя два близких начальных условия x_0 и $x_0+\varepsilon$, где ε - малое число, в соотношении (9) получим:

$$d_0 = \varepsilon, d_1 = f(x_0 + \varepsilon) - f(x_0) = \varepsilon * \frac{df(x_0)}{dx}$$
(11)

Можно получить следующую формулу для одномерных отображений с параметром "а" (у них показатель $L=\lambda_1$ - единственный):

$$L = \lim_{n \to \infty} \frac{1}{n} \sum_{k=1}^{n} \log_2 \left| \frac{df(x, a)}{dx} \right|_{x = x_k}.$$
 (12)

Рассмотрим несколько отображений, для которых можно явно вычислить L.

1) Отображение Бернулли (при q=2 называемое сдвигом Бернулли) : $x_{n+1} = \{q * x_n\}; 0 \le x \le 1, q > 1$ - вещественное число.

Здесь и далее $\{\alpha\}$ означает взятие дробной части от числа α . Это отображение является отображением отрезка [0,1] на себя. Оно разрывно (точки разрыва - 1/q, 2/q,...,k/q, где k - такое целое число, что k/q<1, а $(k+1)/q\ge1$) и необратимо (например, при q=2 у любой точки х есть 2 точки х' и х", связанные условием х"-х'=0.5, для которых $\{2*x'\}=x$ и $\{2*x''\}=x$). Кроме точек разрыва всюду имеем $|f_x'|=2*q$; тогда из (12) $L(q)=\log_2 q>0$ при q>1, следовательно, отображение рождает хаос.

2) Отображение "домик" (а - параметр):

$$\frac{2*a*x_n, x_n < 0.5}{2*a*(1-x_n), x_n \ge 0.5}$$

3десь |f'|=2*a и L= $\log_2(2*a)$: L>0 при 2*a>1 (решение хаотично) и L<0 при 2*a<1 (решение регулярно); все точки 0<x<1 притягиваются к x=0 (проверьте на компьютере).

3) Логистическое отображение с параметром "а" (см. подробнее в н. 2.7) $x_{n+1} = a * x_n (1-x_n), 0 < a \le 4, 0 \le x \le 1.$

При a=4 заменой $x=0.5*(1-\cos(2*\pi*\theta))$ это отображение сводится к сдвигу Бернулли $\theta_{n+1}=\{2*\theta_n\}$, для которого L=1. Поэтому L(4)=1 для логистического отображения, следовательно, оно рождает хаос при a=4.

4)Двумерное отображение "преобразование пекаря" (названо так по аналогии с действиями пекаря, который раскатывает и складывает тесто):

 $0 \le x_n \le 1, \ 0 \le y_n \le 1, \ 0 \le \beta \le 1.$

Это отображение можно рассматривать как обобщение необратимого отображения Бернулли при q=2 путем введения второй переменной с целью различения двух прообразов точки x.

Якобиан отображения имеет вид:

$$\mathbf{J} = \begin{vmatrix} 2 & 0 \\ 0 & \beta/2 \end{vmatrix} = \beta.$$

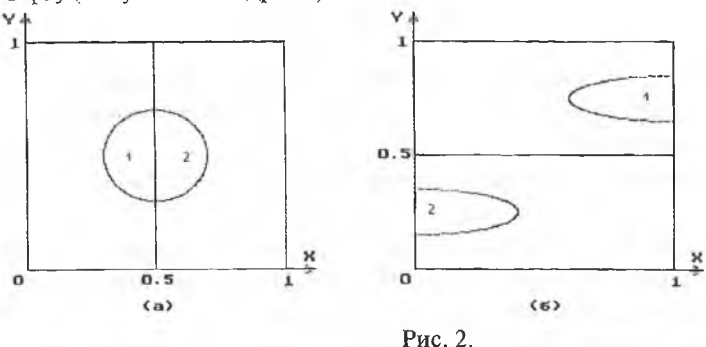
При $\beta=1$ имеем консервативный случай (отображение сохраняет площади и нет атграктора), при $0<\beta<1$ имеем диссипативный случай с сокращением площади и атграктором слоистой (фрактальной) структуры.

Легко проверить, что $J_n = \begin{vmatrix} 2^n & 0 \\ 0 & (\beta/2)^n \end{vmatrix}$, поэтому собственные значения этой матрицы, определяемые из характеристического уравнения $(2^n$ -j)* $((\beta/2)^n$ -j)=0 таковы: $j_1(n)=2^n$, $j_2(n)=(\beta/2)^n$. По определению спектра показателей Ляпунова имеем: $\lambda_1 = \lim_{n \to \infty} \left(\frac{1}{n} * \log_2 2^n\right) = 1$, $\lambda_2 = \lim_{n \to \infty} \left(\frac{1}{n} * \log_2 (2^{-n} * \beta^n)\right) = (\log_2 \beta - 1) < 0$, так как $0 < \beta \le 1$.

Таким образом, $\lambda_1 > \lambda_2$, L= λ_1 =1 и отображение генерирует динамический хаос в диссипативном и консервативном случаях.

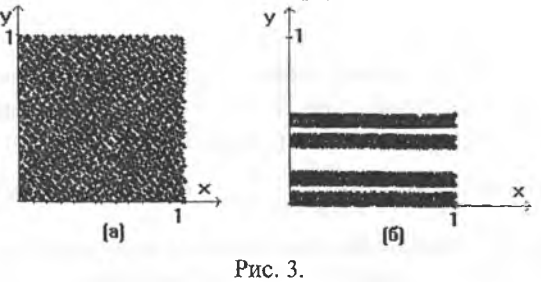
Результат отображения пскаря можно наглядно представить себе, прослеживая преобразование какой-нибудь фигурки, нарисованной на единичном квадрате (см. рис.2). При $\beta=1$ квадрат (а) сжимается вдоль оси Y в 2 раза, растягивается вдоль оси X в 2 раза, разрезается пополам по вертикали,

правая половина смещается к оси Y, после чего левая половина водружается сверху (получается квадрат б).



При β <1 итерации отображения пекаря аналогичны итерациям отображения Энона (см. раздел 3).

На рис. З приведены множества точек в единичном квадрате для случаев $\beta=1$ (а) и $\beta=0.7$ (б) при х(0)=y(0)=0.77777. Видно, что в консервативном случае точки практически равномерно заполняют квадрат, а в диссипативном случае точки группируются в слоях, параллельных оси X, причем площадь, занятая точками, уменьшается, и пространство между слоями квадрата остается незаполненным. Чем меньше β , тем больше слои точек, сближаясь, сплющиваются к оси X. Например, при $\beta=0.01$ виден 1 утолщенный слой точек вдоль оси X (проверьте на компьютере).



5)Отображение Энона с двумя параметрами а и b:

$$x_{n+1}=1-a*x_n^2+y_n, y_{n+1}=b*x_n,$$
 (14)

Система (14) при 0
б<1 диссипативна, при a=1.4, b=0.3 решение имеет хаотический характер, а вычисленные на ЭВМ показатели $\lambda_{1,2}$ имеют значения L= λ_1 =0.603, λ_2 =-2.36.

Замечание 1. В точках бифуркации при субгармоническом каскаде удвоения периода колебаний (см. 2.7) и в точках перехода "хаос ⇔ порядок"

максимальный показатель Ляпунова L принимает нулевое значение, ибо в области хаоса он строго положителен, а в области регулярности - отрицателен.

Замечание 2. Формулу предельного перехода (12) для одномерных отображений полезно использовать в двух ситуациях: 1)при вычислении в ходе итераций значения L(a) для некоторого значения бифуркационного параметра $a=a^*$; знак $L(a^*)$ свидетельствует о типе динамики; 2) при построении графика L(a) с целью анализа поведения отображения с изменением параметра "а" в заданном интервале.

2.6. Диаграмма Ламерея - Кенигса

Эта диаграмма, которую часто называют "лестницей" Ламерея, является инструментом геометрически наглядного представления свойств одномерного отображения. Поясним процесс ее получения на рис. 4. Запищем кратко преобразование прямой в прямую в виде x = f(x), где $x = x_{n+1}$, $x = x_n$, и эту зависимость изобразим на плоскости [x,x]. Нанесем там же пунктирной прямой тождественное преобразование x = x - биссектрису I и III квадрантов плоскости.

Построение "лестницы" состоит в последовательном построении "ступенек" - ориентированной ломаной $A_1 \rightarrow B_1 \rightarrow A_2 \rightarrow B_2 \rightarrow A_3 \rightarrow ...$, у которой точки A_1 , A_2 , A_3 ,... представляют, соответственно, последовательные образы $f(x_0)$, $f(x_1)$, $f(x_2)$,..., а точки B_i - точки пересечения горизонтальных прямых от A_i до биссектрисы x = x. Таким образом, повторяя последовательность операций: 1) проведение вертикали от биссектрисы до пересечения с графиком f(x), 2) проведение горизонтали из полученной точки до пересечения с биссектрисой, мы получаем изображение на графике последовательных итераций отображения. Точки пересечения графика f(x) с биссектрисой определяют неподвижные точки отображения, т.е. точки, преобразующиеся в себя. На рис.4 такими точками являются M_1 и M_2 , причем M_1 неустойчива (близкие к M_1 точки удаляются от нее), а M_2 - устойчива, т.к. близкие к ней точки при $n \rightarrow \infty$ приближаются к ней.

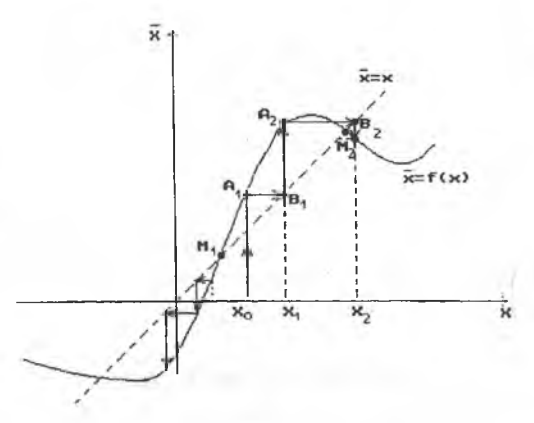


Рис.4.

Замкнутой ломаной A_1 B_1 A_2 B_2 ... A_{p+1} \equiv A_1 соответствует P-цикл кратных неподвижных точек. При P \approx 1 замкнутая ломаная A_1 B_1 A_2 \equiv A_1 вырождается точку пересечения графика f(x) с биссектрисой и соответствует обычной (однократной) неподвижной точке.

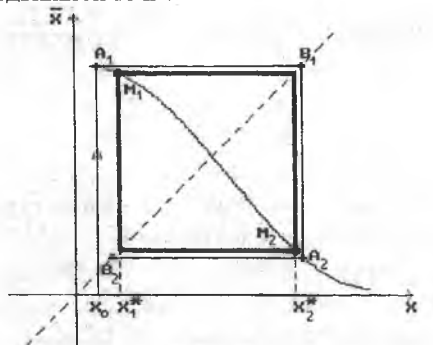


Рис.5.

На рис.5 изображена <u>замкнутая ломаная</u> ("жирными" отрезками) с P=2, причем Ц-2 для x_1^* и x_2^* устойчивый, поскольку ломаные линии, близкие к данной <u>замкнутой ломаной</u>, приближаются к ней в итерационном процессе.

Легко видеть, что P-кратная неподвижная точка исходного отображения f является однократной неподвижной точкой отображения f, т.е. после p итераций f. Обратное не всегда верно, у отображения F могут быть и другие однократные неподвижные точки.

Рассмотрим случай взаимной однозначности отображения. В этом случае функция f(x) монотонно меняется с монотонным изменением x, т.е. для всех x

нательно ('(x)-0, либо f'(x)≥0. Возможны следующие виды преобразования на такое отлучая:

- ат примая прямая" при $f(\pm \infty)$ → $\pm \infty$,
- при f(+∞) или f(-∞) конечном,
 - приман отрезок" при обоих f(±∞) конечных.

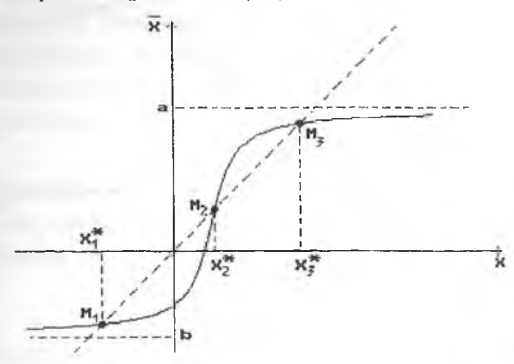


Рис.6.

На рис.6 представлен график взаимно-однозначного отображени прямой в отрезок [a,b] (f(x) имеет 2 горизонтальные асимптоты). Любая точк прямой преобразуется в точку, лежащую внутри отрезка [a,b]. Имеются пенодвижные точки $M_1^*(x_1^*)$, $M_2^*(x_2^*)$ и $M_3^*(x_3^*)$, причем первая и треты устойчивы, а вторая – неустойчива. Поэтому вся прямая $(-\infty, +\infty)$ разбиваетс неустойчивой точкой x_2^* на 2 области притяжения: $\Pi_1(x_1^*) \equiv (-\infty, x_1^*)$ $\Pi_2^*(x_3^*) \equiv (x_2^*, +\infty)$.

Можно доказать, что при f '(x)≥0 вся прямая разбивается на какос п число областей притяжения устойчивых неподвижных точек (аттракторов) какое-то число областей отталкивания неустойчивых неподвижных точе (репеллеров), при этом аттракторы и репеллеры последовательно чередуются Для каждой устойчивой н.т. x_i^* интервал (x_{i-1}^*, x_{i+1}^*) будет областью с притяжения, где x_{i-1}^* и x_{i+1}^* - неустойчивые н.т.

Особый случай представляет ситуация, когда график f(x) при f'(x) может касаться биссектрисы x=x (рис.7 - точки B_1 и B_2 на графике B). Это случай бифуркации отображения, возникшей, например, в результат непрерывного изменения некоторого параметра "а", если f=f(x,a). При это две или несколько неподвижных точек могут слиться, исчезнуть или могу появиться новые н.т. Например, для примера на рис.7 при плавис деформации (по направлению стрелки) исходного графика A при $a=a_1$ график B при $a=a_2$, происходит касание "верхней части" графика A пряме x=x, в результате чего появляется новая н.т. B_3 ; при дальнейшем движения

она "распадается" на 2 н.т.; левая из них затем сливается с точкой A_3 , при этом получается точка B_2 ; неподвижные точки A_1 и A_2 также сливаются превращаясь при касании в точку B_1 .

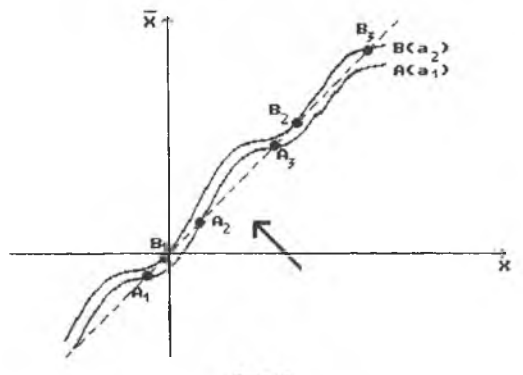


Рис.7.

Другую ситуацию имеем для взаимно-однозначного отображения с $f'(x) \le 0$: график f(x) пересекается с биссектрисой всегда в единственной точкс x^* , которая может быть устойчивой или неустойчивой. Заметим, что f^2 отображение $x = f^2(x) = F(x)$ уже не является отображением рассмотренного типа, ибо

$$F'(x) = \frac{df}{dx}\Big|_{f(x)} * \frac{df}{dx}\Big|_{x} \ge 0.$$

Поэтому неподвижной точке $x^{**}=x$ отображения $F=f^2$ соответствует цикл двукратных неподвижных точек x_1^* и x_2^* отображения f таких, что $x_2^*=f(x_1^*)\neq x_1^*$.

Итак, в случае f'(x)≤0 прямая разбивается на некоторое число областей притяжения двукратных н.т. и одну область притяжения однократной н.т. (если н.т. устойчивы).

Если отображение "прямая - прямая" лишь однозначно (не взаимно однозначно), то имеем более сложный случай. Все сказанное выше о неподвижных точках остается в силс на интервале монотонности f(x). Новое состоит в возможности возникновения очень сложных структур в общем случае из-за многозначности обратного отображения $f^{-1}(x)$. Этот случай мы подробно рассмотрим на примере логистического отображения, которое имеет бесчисленное множество всевозможных кратных неподвижных точек и, кроме того, в определенных условиях имеет хаотическую динамику.

Логистическое отображение. Последовательность неустойчивостей, ведущая к хаосу. Закон М.Фейгенбаума. Бифуркационная диаграмма.

Классическим примером динамической модели, обнаруживающей болитство различных режимов, в том числе и хаотическое поведение, является отномерное логистическое отображение Ферхюльста - Кетле. Иногда это отображение называют отображением Фейгенбаума. Оно содержательно описывает различные динамические процессы и, в частности, рост популяции некоторого биологического вида с ограничением по пищевым или пергетическим ресурсам:

 $x_{n+1} = a * x_n - b * x_n^2 \tag{15}$

Линейный член описывает рост (при a>0) или убыль (a<0) численности х, квадратичный член отвечает за ограничение роста (убыли); а и b - некоторые числовые коэффициенты. Если b=0, то явное решение разностного уравнения (1) имеет вид:

$$x_{n+1} = a * x_n; x_n = x_0 * a^n$$
 (16)

Решение устойчиво при |a|<1 и неустойчиво при |a|>1. Таким образом, из линеаризованного уравнения (16) следует нереалистичное предсказание неограниченного роста численности (закон Мальтуса).

Далее подробно изучим нелинейную модель (15), обычно переписываемую в стандартном виде:

$$y_{n+1} = c * y_n * (1 - y_n)$$
 или кратко $y = c * y * (1 - y) = f(y),$ (17)

где $y \in [0,1]$, $1 \le c \le 4$. Условие $c \le 4$ необходимо для того, чтобы гарантировать принадлежность y_n и $f(y_n)$ единичному интервалу.

При с≥1 (17) имеет 2 неподвижные точки, которые находим из уравнения

$$y^*-c*y^**(1-y^*)=0,$$
 (18)

а именно: $y_1^*=0$, $y_2^*=(c-1)/c\geq 0$ (т.к. $c\geq 1$). Для определения устойчивости неподвижных точек надо оценить $|f_y|'(y,c)|_{y=y^*}=c*(1-2*y^*)$. При 1< c< 3 получаем, что y_2^* устойчива ($|f_y|'|<1$), а y_1^* - неустойчива ($|f_y|'|>1$). При c> 3 обе н.т. становятся неустойчивыми, т.к. $|f_y|'|_{y=y_2^*}=|2-c|>1$, а $|f_y|'|_{y=y_2^*}=c> 3$. Оказывается, что простое квадратичное отображение (17) при $3\leq c\leq 4$ порождает множество многопериодических траекторий (P-циклов) и хаотических траекторий.

Изучим далее отображение (17), построив при некотором значении параметра "с" график f(y) на плоскости (y,y), пользуясь диаграммой Ламерея - Кенигса (рис. 8). График является параболой с положительным максимумом; f(0)=f(1)=0. При c=1 имеем вырожденный случай $(y_1*=y_2*=0)$. Начало координат при c>1 всегда неустойчивая н.т., а итерации от любой начальной точки y_0 при c<3 сходятся к точке y_2* (при $y_0\neq 0$ и 1) - атграктору (циклу Ц-1).

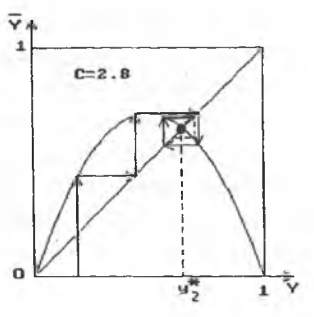
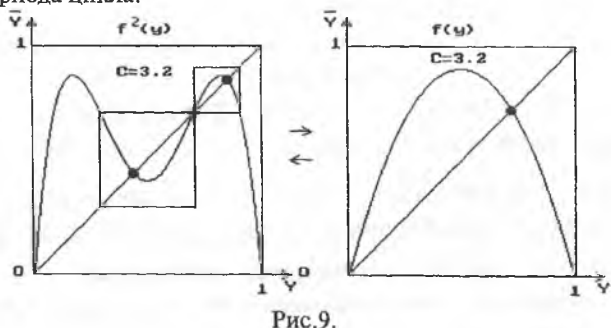


Рис.8.

Параметр "с" задает максимум f(y,c) по у. Изменяя "с", мы деформируем график f(y), что может иметь решающие последствия для всей серии итераций. Пусть, например, c=3.2, тогда $\left|f'_{,,|_c}\right|_c > 1$ и точка y_2^* будет неустойчивой. Графическое построение лестницы Ламерея показывает, что у отображения (17) имеются 2 такие точки y_1^* и y_2^* , что $y_2^*=f(y_1^*)$ и $y_1^*=f(y_2^*)$, т.е. итерации совпадают то с y_1^* , то с y_2^* . Такие точки, как мы уже говорили, образуют Ц-2 (периодическую траекторию с периодом 2, являющуюся аттрактором с периодом 2). Эти точки являются н.т. функции F(x)=f(f(x)), определяющей отображение второго возвращения (рис.9). Возникновение Ц-2 для f'(y) происходит с ростом параметра "с" при потере устойчивости Ц-1 для f(y). Итак, вместо Ц-1 появляется Ц-2: говорят, что произошла бифуркация удвоения периода цикла.



Что же далее происходит с ростом параметра "c"? График $F(y) = f^2(y)$ продолжает деформироваться, так что неподвижные точки отображения F в конце концов теряют устойчивость и возникают 2 новые н.т. отображения $G(y) = F(F(y)) = f^4(y)$. Это происходит при $c_2 = 1 + \sqrt{6} = 3.449489...$ При $c > c_2$ отображение F не имеет устойчивых н.т., а отображение F имеет 4 устойчивые н.т., которые образуют аттрактор с периодом 4, т.е. снова произошло удвоение периода.

Продолжая увеличивать параметр c>3, мы увидим графически то же авление последовательного удвоения периода в точках бифуркации c_k и появление 2^k -циклов, где $k=3,4,...\infty$. Доказано (М.Фейгенбаумом), что шачения параметра c, при которых происходит эта бесконечная последовательность бифуркаций удвоения периода, называемая c_k соответствующие трем последовательным свойством: значения c_k , соответствующие трем последовательным бифуркациям, удовлетворяют такону М.Фейгенбаума:

$$\lim_{k \to \infty} \frac{c_k - c_{k-1}}{c_{k+1} - c_k} = \delta = 4.6692016...(c_{k-1} < c_k < c_{k+1})$$
(19)

Заметим, что c_{∞} =3.56994... для отображения (17).

Многочисленными исследованиями доказано, что число Фейгенбаума δ ивляется универсальной константой, не зависящей от деталей нелинейной функции f(x,c) (требуется лишь, чтобы f была трижды дифференцируемой, имела отрицательную производную Шварца и ровно 1 экстремум на [0,1]), т.е. это - фундаментальный результат, достойный Нобелевской премии (автор его открытия премию так и не получил). Таким образом, итерируя любое одномерное отображение f, обладающее квадратичным, кубичным и более сложным экстремумом, мы всегда обнаруживаем один и тот же каскад удвоений периода с одним и тем же законом подобия (19), хотя для разных f предел c_{∞} будет разным.

Для отображения (17) при с $_{\infty} \le c \le 4$ поведение $\{y_n\}$ становится хаотическим, однако внутри этого интервала существуют очень узкие "окна" строгой периодичности с периодами $P*2^k$, P>1, $k=1,2,...,\infty$. Например, наибольшее окно периодичности 3.8284... < c < 3.8496... содержит циклы с основным периодом P=3 (проверьте на компьютере).

Отметим, что динамику логистического отображения исследовали Мэй, Фейгенбаум и другие авторы.

<u>Замечание 1. Хаотическому</u> поведению итераций соответствует на диаграмме Ламерея некоторая <u>сплошная область</u>, "заметаемая" ломаной $A_1B_1A_2...$, которая никогда не замыкается.

Замечание 2. Сложную динамику одномерных нелинейных отображений с одним параметром "с" бывает полезно изобразить на компьютере в виде бифуркационной диаграммы, откладывая по оси абсцисс значения параметра в исследуемом диапазоне с∈[a,b], а по оси ординат - все разные экстремумы отображения на асимптотической стадии (например, при п от 1000 до 2000) для данного текущего значения "с". На рис. 10 для логистического отображения представлена такая диаграмма, имеющая вид "дерева" (верхний график): хорошо видны вствления в точках бифуркации с₁, с₂ и с₃; ближе к

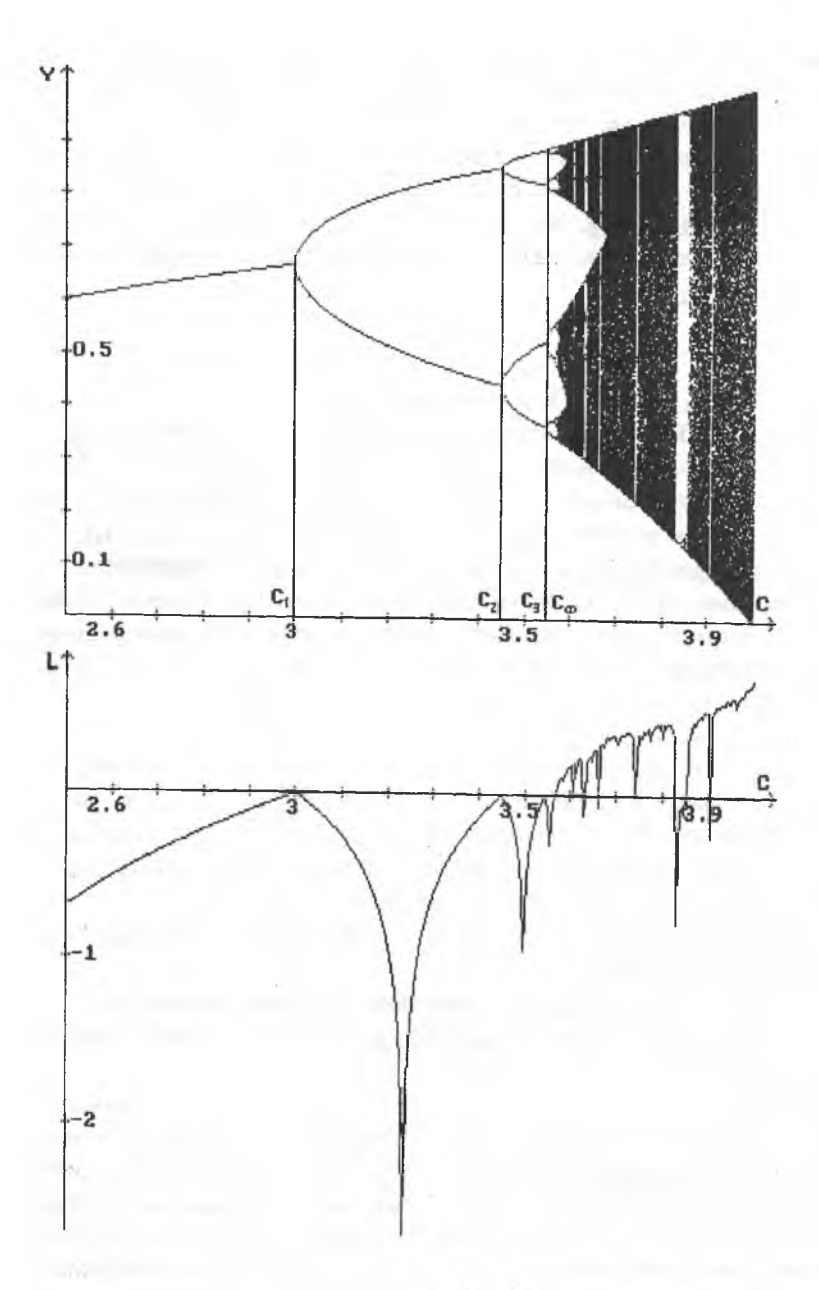


Рис. 10.

точках бифуркации L(c)=0, для хаотических участков L(c)>0, а для периодичности в интервалах хаотичности L(c)<0.

Замечание 3. Удвоение периода и соответствие закону Фейгенбаума (может быть с другим значением константы 8) обнаруживаются не только у одномерных отображений, но и у других математических моделей, а также во многих физических экспериментах. Это означает, что для ряда непрерывных эволюционных процессов сведение к разностному уравнению с помощью сечения Пуанкаре приводит к логистическому отображению. Отсюда следует важная роль отображений в исследовании систем обыкновенных дифференциальных уравнений.

2.8. Разностные системы с запаздывающими аргументами

Динамические системы дифференциальных и разностных уравнений с "запаздываниями" возникают при рассмотрении целого ряда математических моделей процессов переноса, теории автоматического регулирования, в экологии, экономике, физиологии и других науках и приложениях. Термин "запаздывание" означает, что текущее состояние в момент t некоторой эволюционной системы зависит явно от "прошлого", т.е. от состояний в моменты t- τ_i , i=1,2,...,m. Параметры τ_i - запаздывания считаются известными для конкретной системы; время t может быть непрерывным или дискретным. Обозначим τ =max τ_i , где все τ_i >0. При постановке задачи Коши для системы ОДУ или итерируемых отображений необходимо теперь определять начальные условия на отрезке t \in [- τ ,0], а не только в момент t=0.

Иногда системы ОДУ с запаздываниями называют дифференциальноразностными системами.

Рассмотрим для определенности систему итерируемых отображений с запаздываниями и сформулируем для нее <u>задачу Коши</u>, используя краткую запись в векторной форме:

$$X_{n+1} = f(n, X_n, x_{n-k_1}^{(j_n)}, ..., x_{n-k_m}^{(j_n)}, A), n=1,2,...$$

$$X = (x^{(1)}, ..., x^{(N)}), X \in \mathbb{R}^N, f = (f_1, ..., f_N), A = (a_1, ..., a_s).$$

$$X_0 = g(n) \text{ при } n \in [-k, 0], k = \max k_i, i=1,2,...,m.$$

$$(20)$$

где $(n-k_i)$ - моменты запаздывания, k_i - целые числа, N - размерность системы (20). Для начала вычислений мы должны знать вектор g начальных условий на целом промежутке изменения дискретного времени n, a при вычислении

правой части при n>0 нужно использовать решения в m точках n і Простейшим случаем задания вектора-функции g(n) при $n\in[-k,0]$ является продолжение в "прошлое" (n<0) постоянных значений при n=0 для каждай искомой вектор-функции x(n).

При качественном анализе непрерывных или дискретных систем запаздываниями никаких новых принципиальных проблем не возникает по сравнению с системами без запаздываний (неподвижные точки, их число п устойчивость, бифуркации при изменении параметров, хаотизация и т п) Поэтому все теоретические достижения в изучении систем без запаздывания полностью пригодны в исследовании рещений систем с запаздываниями Следует отметить, что роль запаздываний может быть различной в динамии конкретных систем (например, хаотизировать решение, бывшее регулярным и системе без запаздывания).

В качестве содержательного примера отображений с запаздыванисм рассмотрим экономико-математическую модель взаимодействии производственных, материальных и интеллектуальных ресурсов и их влияния на развитие общества. Модель, имеющая актуальное для России значение, исследована и разработана отечественными специалистами [7, с. 134-140].

Основное предположение авторов при создании математической модели: наука и образование, играющие роль интеллектуального ресурса ("человеческий капитал"), могут оказывать существенное влияние на с обычно учитываемыми экономику наряду факторами производства И объемом доступных материальных ресурсон. Интеллектуальные ресурсы позволяют быстро осваивать новые виды природных ресурсов и увеличивать их объем; способны порождать при их использовании новые товары и технологии (например, компьютеры, лазеры, спутниковая связь и др.); позволяют решать многие проблемы на качественно ином уровне и затрачивать значительно меньше материальных ресурсов.

Модель включает 3 переменные, зависящие от дискретного времени n, измеряемого в годах (обозначения - как у авторов модели): X(n) - часть объема производства, идущая на поддержание, возобновление и использование ресурсов; R(n) - объем доступных материальных ресурсов; A(n) - объем интеллектуальных ресурсов. Величины X,R и A нормированы на численность населения, в качестве единиц их измерения применялись некоторые условные финансовые единицы. Система разностных уравнений, связывающая ресурсы в n-M и (n+1)-M году, имеет вид:

$$X(n+1) = (p_0 + p_1 * A) * X * R/(R + g * X)$$

$$R(n+1) = h + R * (1 - X/(R + g * X)) + b * (A(n-k)/a)^2$$

$$A(n+1) = q * A + f * e * X * A/(A + e * X)$$
(21)

В этой модели 10 параметров, которые обозначены строчными буквами. Аргумент п у переменных в правой части системы опущен, кроме члена A(n-k) с запаздыванием, где k≥0 - параметр запаздывания, имеющий смысл "время включения специалиста в работу". Вид правых частей системы (21), выбор конкретных значений параметров и начальных условий X(0), R(0) и A(0) обосновываются в указанной работе [7]. Разработанная модель дает клисственную и весьма ценную информацию о динамике ресурсов.

В работе [7] обсуждаются также некоторые результаты вычислительных экспериментов с моделью. Эволюция развития прослеживается в течение 70 ист (n=70). При значениях k=3,4 и 5 варьировались 2 основных параметра: b-параметр, характеризующий освоение новаций ($0 \le b \le 6$), e – параметр, марактеризующий уровень расходов на интеллектуальную сферу (науку и образование).

Главные выводы проведенного моделирования: необходимость установления государством такого уровня финансирования науки и образования и обеспечение такого уровня усвоения новаций, чтобы не были нозможны нарастающие кризисы в экономике, ведущие к спаду производства и даже его коллапсу.

Система (21) включена в набор трехмерных моделей под условным названием "Intel-R" как студенческое задание (см. 3.2.21).

2.9. Признаки хаотической динамики

В ходе физического или (как в нашем случае) вычислительного эксперимента исследователь по некоторым наблюдаемым (измеряемым или вычисляемым) величинам должен идентифицировать динамику колебаний. Приведем наиболее распространенные признаки хаотических колебаний и методы их диагностики.

- 1. Чувствительная зависимость от начальных условий (ЧЗНУ); обычно характеризуется положительным значением максимального показателя Ляпунова и фрактальными границами области притяжения аттрактора (для диссипативных систем).
- 2. Растущее усложнение регулярных колебаний по мере изменения некоторого (бифуркационного) параметра математической модели; например, наблюдаемые удвоения периода колебаний (можно вычислить число Фейгенбаума, построить бифуркационную диаграмму).
- 3. Чередование во времени (непрерывном или дискретном) регулярных периодических колебаний с участками непериодических вспышек или всплесков нерегулярных колебаний (перемежаемый хаос); длительность интервалов регулярных колебаний непредсказуема.

- 4. Постепенная регуляризация во времени первоначально неупорядоченных колебаний: решения стремятся к некоторму регулярному типу поведения (переходный хаос). Примеры: модели "Feigen-3" (3.1,1), "Cherny" (3.1.7) и "D-torus" (3.2.7).
- 5. <u>Фрактальные</u> свойства движения фазовой точки в фазовом пространстве или в его проекциях на фазовые плоскости; такое хаотическое или стохастическое движение обычно указывает на присутствие <u>странного аттрактора</u> и характеризуется отображениями Пуанкаре сложной структуры и фрактальными размерностями. Примеры: двумерные модели "Henon" (3.2.1) и "Ginger" (3.2.4).
- 6. Немонотонность графика отношения последовательных максимумов хотя бы у одной зависимой переменной модели (см. 1.3).

2.10. Дополнительные способы идентификации динамики отображений

Одной из главных задач исследования нелинейных отображений является задача численного определения областей характерного (типичного) их поведения и границ, разделяющих такие области в фазовом пространстве \mathbb{R}^N или в пространстве параметров \mathbb{R}^S .

В случае N=1 мы уже обсуждали некоторые численные алгоритмы построения идентификационных графиков: диаграммы Ламерея-Кенигса, бифуркационной диаграммы и графика зависимости показателя Ляпунова от одного из параметров (бифуркационного параметра).

В случае N=2 к задачам идентификации поведения систем нелинейных отображений относятся две задачи построения областей существования ограниченных решений: либо в R^N (значения параметров фиксированы, изменяются начальные условия), либо в R^S (начальные значения фиксированы, изменяются параметры модели). Первая задача характерна для консервативных систем (их динамика зависит, в основном, от выбора начальных условий), вторая задача эквивалентна задаче приближенного построения областей притяжения простых и странных аттракторов диссипативных систем. Известно, что странные аттракторы обладают экзотическими на вид, сильно изрезанными границами областей притяжения (бассейнов) с фрактальными свойствами.

В случае №3 построение характерных областей и границ становится весьма трудоемкой задачей даже при компьютерном моделировании. Поэтому для идентификации динамики моделей используются некоторые функционалы от численных решений: например, алгоритм Бенеттина вычисления спектра показателей Ляпунова и алгоритмы определения фрактальной размерности аттракторов (см., например, [4]); построение

грифика автокорреляционной функции; вычисление частотного Фурьесисктра (спектра мощности) по конечным выборкам из временных рядов, полученным на компьютере, с помощью алгоритма БПФ (быстрого преобразования Фурье [5]); анализ серии бифуркационных диаграмм при пприации двух параметров модели для выявления областей притяжения гипичного аттрактора (Р-цикла, замкнутых кривых, фрактальных или аморфных множеств точек); построение графика последовательных экстремумов.

Ниже на примере классического для фрактальной геометрии отображения комплексной области на себя

 $Z \rightarrow Z^2 + C$ (C=a+ib - комплексное число - параметр) (22) опишем алгоритм построения специальных областей в С-плоскости и Z-плоскости: множеств Мандельброта и Жюлиа (см. раздел 5).

В действительных переменных x_n, y_n ($Z_n = x_n + iy_n$) комплексное отображение (22) принимает вид двумерного квадратичного отображения с двумя параметрами:

 $x_{n+1}=x_n^2-y_n^2+a,\ y_{n+1}=2*x_n*y_n+b$ Якобиан отображения есть функция x,y: $J=\begin{vmatrix} 2*x & -2*y \\ 2*y & 2*x \end{vmatrix}=2*(x^2+y^2),$

который может быть больше 1 (площади увеличиваются) и меньше 1 (площади сжимаются). Поэтому при итерациях можно ожидать как быстро растущих по абсолютной величине решений x(n),y(n), так и остающихся ограниченными при $n\to\infty$. Заметим что отображение (22) имеет всевозможные P-циклы со свойством $Z_{n+p}=Z_n^2+C$ (P>1 - целое число - период).

Чтобы получить множество Мандельброта для некоторой ограниченной области S изменения значений параметров (a,b) область S покрываем регулярной сеткой конечного числа точек k_1*k_2 . Последовательно для каждой точки сетки устанавливаем, принадлежит ли она множеству Мандельброта. Опишем соответствующий алгоритм. Фиксируется начальная точка (0,0) и максимальное количество итераций n_f . Если какая-либо из переменных - х или у на некотором шаге итерации $n \le n_f$ оказывается по абсолютной величине больше некоторого заданного наперед числа Q (например, $Q=10^6$), то принимаем, что точка не принадлежит множеству Мандельброта; в противном случае (если на всех шагах итерации до n_f включительно х и у меньше Q) принимаем, что точка принадлежит множеству Мандельброта. Пример: область - прямоугольник $a_1 \le a \le a_2$, $b_1 \le b \le b_2$. Его покрываем равномерной сеткой k_1*k_2 точек с шагами $\Delta a = (a_2-a_1)/(k_1-1), \Delta b = (b_2-b_1)/(k_2-1)$. Далее последовательно обходим все точки сетки, например, по вертикалям снизу вверх, а но горизонталям - слева направо. Каждую точку,

принаждежащую множеству Мандельброта, отмечаем определенным обратом (например, при изображении на графическом экране - некоторым цветом М)

Алгоритм для получения множества Жюлиа состоит из трех этапов. Па первом этапе для заданного значения константы С на С-плоскости испытываются на неограниченный рост перебираемые одна за другой точен Z-плоскости, рассматриваемые как начальные условия. Алгоритм аналогичен описанному выше алгоритму для получения множества Мандельброта. Точки в которых решения ограничены, отмечаются (некоторым цветом М). На втором этапе определяется граница области на Z-плоскости, точки которой стремятся к ∞. Последовательно перебираются все отмеченные на первом этапе точки. Если у некоторой точки имеются соседние неотмеченные точки то принимается, что каждая такая неотмеченная точка принадлежим множеству Жюлиа; точки, принадлежащие множеству Жюлиа, отмечаются (другим цветом - J). Третий этап состоит в стирании всех точек, помеченных на первом этапе (остаются только точки, помеченные цветом J).

В случае, когда множество ограниченных решений несвязно, болес качественные графические каринки изображения множества Жюлин получаются, если несколько изменить второй этап алгоритма: цветом Ј отмечать каждую точку, которая была отмечена на первом этапе и которую окружает хотя бы одна неотмеченная точка.

На рис.11 приведены множество Мандельброта (слева) и множество Жюлиа (справа). Параметры и начальные условия выбирались следующим образом: $2.1 \le a \le 2.1, -1.5 \le b \le 1.5$ для множества Мандельброта, a = -1, b = 0, $-2.1 \le x_0 \le 2.1$, $-1.5 \le y_0 \le 1.5$ для множества Жюлиа.

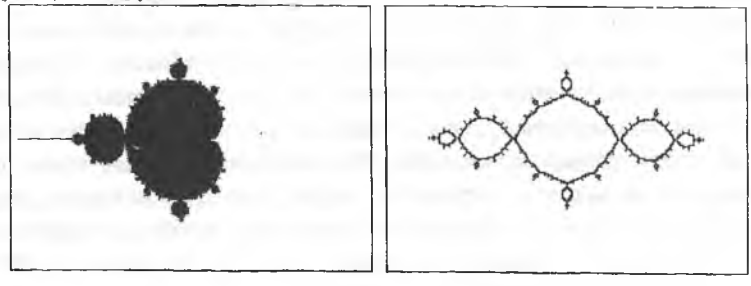


Рис.11.

Замечание. Несмотря на кажущуюся грубость приведенных алгоритмов, с их помощью можно получить хорошее наглядное представление о структуре множеств Мандельброта и Жюлиа. Для получения хороших рисунков достоточно взять сетку размера ~300-400 точек по вертикали и горизонтали.

Аналогично могут быть построены характерные области для других двумерных отображений и отображений с двумя параметрами.

Раздел 3. Индивидуальные задания на нелинейные итерируемые отображения

При описании моделей отображений будем пользов обътранениями, применяемыми в пакете "Нелинейные динамизантемы" [13]. Зависимые переменные - рещения обозначим Y1,Y2 параметры - A1,A2,... Индекс "1" у единственной переменной описательного параметра будем опускать. Индекс "n" у переме Y1(n), Y2(n) и Y3(n) для простоты записи также будем опускать.

Моделям присвоены условные названия; иногда они сописла фимилией автора модели, например, Ikeda, Martin, Мау и др. У м моделей после названия в квадратных скобках указан источник - стать монография на русском языке. Слово "FRACTINT" в ссылке отначае модель взята из демонстрационной программы FRACTINT (ее разра коллектив авторов из США), находящейся по http://spanky.triumf.ca./www/fractint/getting.html. Банк моделей програм RACTINT содержит очень большое количество различных математизмоделей, в том числе с хаотической динамикой и фрактальными свойс Допускается задание пользователем на экране начальных услов управляющих параметров. Особенно впечатляющи цвстные кар странных аттракторов и областей их притяжения.

3.1. Одномерные отображения

При итерациях основного отображения "Y1" в качестве дополните отображения "Y2" необходимо использовать реккурентную формуласимптотического получения показателя Ляпунова, т.е. следует ресистему:

$$Y1(n+1)=f(a,n), Y1(a,0)=Y1*+\epsilon,$$

 $Y2(a,n+1)=Y2(a,n)+Ln(abs(f_{Y1}'(a,n)), Y2(a,0)=0.$

Убедитесь в серии вычислительных экспериментов, что в бифуркаций, найденных пристрелкой для значения указанного в бифуркационного параметра $a_{\rm kp}$ с точностью до пяти значащих показатель Ляпунова $L(a_{\rm kp}) \approx Y2(a_{\rm kp})/n_{\rm k} \approx 0$ к финальному моменту $n_{\rm k} = 10^4$

Модели Feigen - 1,2,3 (см. FRACTINT) изучались Фейгенбаумок исследованиях перехода к хаосу по сценарию "каскад удвоения и колебаний" при вариации бифуркационного параметра А.

3.1.1. Модель "Feigen - 1" Y(n+1)=A*Y*Y-1

- 1)Найдите неподвижные точки Y^* и определите по параметру Λ интервалы их устойчивости (неустойчивости: $|f_{\mathbf{v}}'(A)| > 1$).
 - 2)Что наблюдается в интервале 0.1≤А≤1.2?
- 3)Какой финальный ($n_k \approx 10^3, 10^4$) тип решения получается при следующих значениях параметра: A=0.8;1.3;1.39;1.395;1.4?
 - 4) Что наблюдается в интервале 1.4 < А < 2?
- 5)Найдите способом пристрелки по A его бифуркационное значение A_{∞} с 5-ю верными знаками, соответствующее началу хаотической динамики, каково значение $L(A_{\infty})$?

3.1.2. Модель "Feigen - 2"

 $Y(n+1)=Y+A*sin(\pi*Y)$

- 1)Найдите неподвижные точки Y^* и определите по параметру Λ интервалы их устойчивости и неустойчивости.
- 2)Что наблюдается при следующих значениях параметра на финальном отрезке 10^3 ≤n≤ 10^4 : A=0.7;1.11;1.121;1.123?
- 3) Найдите с 5-ю верными знаками значения А, соответствующие началу и концу хаотической динамики; каковы значения показателя Ляпунова в этих точках?
- 4)Проверьте по таблице экстремумов функции Y(n) для интервала 500≤n≤1000, что для A=1.1245 существует нестандартный цикл Ц-80.
 - 5)Изменится ли интервал хаотичности, если взять Y(0)=0.1?

3.1.3. Модель "Feigen - 3" Y(n+1)=A*sin(π*Y)

- 1)Найдите неподвижные точки Y* и определите по параметру А интервалы их устойчивости и неустойчивости.
- 2)Найдите с 5-ю верными знаками бифуркационные значения A, если известно (проверьте!), что существуют следующие P-циклы: Ц-2 при A=0.8; Ц-4 при A=0.85; Ц-8 при A=0.86; Ц-16 при A=0.865.
- 3) С такой же точностью найдите 2 значения A, соответствующие началу и концу интервала хаотической динамики; каковы в этих точках значения показателя Ляпунова?
- 4)Проверьте интересный случай A=0.87, когда начальный хаос ($0 < n \le 450$) внезапно переходит в Ц-20 (смотрите таблицу экстремумов для Y(n)).

3.1.4. Модель "Shaw" [3, с.242]

Y(n+1)=2*Y*(A+Y), параметр A<0.

- I) Найдите неподвижные точки $Y^*(A)$ и определите по A интервалы их устойчивости и неустойчивости, $A \in [-1, -0.7]$.
- 2)Определите хотя бы по одному значению А, при которых наблюдаются в эпориодические решения циклы Ц-2, Ц-4, Ц-8 и Ц-16.
- 3)Найдите пристрелкой значение $A_{\rm kp}$ с 5-ю верными знаками, начиная с готорого возникает хаотическая динамика; каково значение показателя $L(A_{\rm kp})$ на финальной стадии при $n{\sim}10^3$ 10^4 ?

3.1.5. Модель "Мау" [15]

Y(n+1)=Y*exp(A*(1-Y))

Это уравнение моделирует динамику популяции одного вида с численостью особей Y, которая регулируется эпидемической болезнью. В клуестве начальных условий рассмотрите интервал Y(0)=0.1,...,0.5, а для пираметра A интервал $2 \le A \le 4$.

- 1) Проверьте, что при возрастании параметра A, как и у логистического уравнения, переход к хаотической динамике осуществляется через каскад удвоения периода колебаний решения.
- 2)Найдите несколько значений параметра А, при которых наблюдаются циклы Ц-2, Ц-4, Ц-8 и Ц-16 на финальной стадии 1000≤п≤2000.
- 3)Определите пристрелкой значение $A_{\kappa p.}$ с 5-ю верными знаками, начиная с которого возникает хаотическая динамика; каково значение показателя Ляпунова $L(A_{\kappa p.})$ на финальной стадии при $n \ge 2000$?

3.1.6. Модель "Hassel" [15]

Y(n+1)=A1*Y*exp(-A2*ln(1+Y)), Y(0)=0.1.

Модель похожа на биологическую модель "Мау", но описывает динамику численности сезонно размножающихся насекомых с неперекрывающимися поколениями. Поведение решения зависит уже от двух положительных параметров A1 и A2.

- 1)При значениях A1=10,100,1000 и при изменении A2 с шагом 1 в интервале 1≤A2≤10 проведите серию B9 (30 вариантов решений) и идентифицируйте динамику решений с ростом n до 3000.
- 2)В первом квадранте плоскости (A1,A2) на основе данных п.1 укажите примерные границы следующих областей типового поведения при n→∞:
 - монотонного стремления Y(n) к неподвижной точке Y*;
 - колебательного с затуханием стремления Y(n) к Y^* ;
 - устойчивых P-циклов (P=2,4,8,16);

- хаотического поведения.

Используйте для идентификации финального решения таблицы экстремумов при 2000≤n≤3000 и значения показателя Ляпунова.

3.1.7. Модель "Cherny"

Y(n+1)=(A1*exp(-A2*n))*Y*(1-Y*Y), Y(0)=0.1

Это пример кубического неавтономного отображения, у которого по утверждению авторов [19], при некоторых значениях параметра A2>0 и фиксированном значении A1 возможен переход из области хаотического поведения в область с несколькими устойчивыми стационарными состояниями (так называемый "перемешивающийся слой", который реализован в некоторых широко известных азартных играх, например, в рулетке и китайском биллиарде). В серии ВЭ положите A2=0.001.

- 1) Проверьте при нескольких положительных и огрицательных значениях A1, что:
 - устойчивое финальное состояние всегда нулевое ("смерть для Y");
- возникающее с момента рождения при n=0 хаотическое решение с некоторого момента $n=n_{\kappa p}(A1,A2)$ переходит с ростом n к циклическим затухающим колебаниям;
- отличная от стационара "жизнь" модели продолжается примерно 1/A2 дискретного времени и при A2=0 модель "живет вечно";
- 2)Найдите несколько точек перехода от хаоса к порядку для ряда положительных и отрицательных значений A1.

3.1.8. Модель "Logistica" [5,c.221] Y(n+1)=A*Y*(1-Y)

1) Подтвердите своими расчетами все утверждения п. 2.7 данного пособия о динамике логистического отображения на отрезке $y \in [0,1]$ при изменении параметра A от 1 до 4.

2) Найдите с 5-ю верными знаками значения A при бифуркациях риклов для p=2,4,8,16, ∞ и соответствующие значения Ляпуновского показателя $L(A_p)$.

3) Продемонстрируйте существование Ц-3 и простых неподвижных точек.

4)Составьте пограммный модуль одновременного построения на экране бифуркационной диаграммы и графика L(A) для $2 \le A \le 4$ с шагом $\Delta A = 0.05$ по численным данным на асимптотической стадии итераций ($4000 \le n \le 5000$).

3.1.9. Модель "Price"

Модель формирования цены товара "Y", позволяющая исследовать устойчивость рыночных механизмов в зависимости от характеристик полюции технологической структуры экономики (вывод модели см. в [8], с 118-125), имеет вид одномерного отображения с двумя параметрами А и В:

$$Y(n+1)=A*Y*(1-Y^B), y(0)=\left(\frac{1}{1+B}\right)^{\frac{1}{B}},$$

тде Y - цена товара в момент n, параметр A характеризует запас (например, избыток мощностей по производству товара). Известно, что параметр В≥1 упеличивается в соответствии с увеличением темпа роста экономики. Заметим, что при B=1 имеем классическое логистическое уравнение - см. 11.2.7.

Определите динамику ценообразования, найдите аттракторы и 4 точки бифуркации.

- 1) Установите сценарий перехода к хаосу для случаев B=2;3 при изменении параметра $A \in (0; A_{max})$, где $A_{max}(B) = 1/B*(1+B)^{(1+B)/B}$.
 - 2) Как изменяются интервалы хаотичности с ростом В?

Используйте вычисления производной Шварца и показателя Ляпунова.

3.1.10. Модель "Nevman -1" [9]

Модель рассматривалась Дж.фон Нейманом как простейший генератор псевдослучайных чисел:

$$Y(n+1)=1-A*sqrt(abs(Y))$$

Исследуйте динамику данного отображения при $n \rightarrow \infty$.

- 1)Определите знак производной Шварца в зависимости от А.
- 2) Найдите области существования неподвижных точек, их число и устойчивость, области притяжения.
- 3) Каков интервал хаотичности по A? Постройте на экране бифуркационную диаграмму совместно с графиком Ляпуновского показателя L(A), 1<A<3. Каков процесс перехода "хаос⇔порядок"? Как долго существует хаос?

3.1.11. Модель "Nevman 2" [9]

$$Y(n+1)=1-A*abs(Y)$$

Эта модель по динамике в чем-то аналогична предыдущей модели.

Проведите такое же исследование, как для модели "Neyman -1".

При каких значениях параметра A эту модель можно использовать в качестве генератора псевдослучайных чисел?

3.1.12. Модель "Сугсе" [4, с.90,283]

Известно, что модель динамики двух связанных осцилляторов порождает двумерный тор T^2 . Сечение Пуанкаре вдоль малой его окружности приводит в одномерному отображению окружности на себя, которое в наиболее популярном в теории <u>стандартном виде</u> представимо отображением:

 $y(n+1)=frac(Y+A+(B/(2*\pi))*sin(2*\pi*Y)), Y(0)=0.2,$

где frac(C) - дробная часть аргумента C; параметры A и B - вещественные числа.

Каждая итерация соответствует траектории одного из осцилляторов вдоль большой окружности тора. При A=0 параметр B есть <u>число вращений</u>, т.е. отношение частот колебаний несвязанных осцилляторов. При $B\neq 0$ решения могут быть периодическими, квазипериодическими и хаотическими.

1) Исследуйте динамику отображения при 0<A<1 (Δ A=0.1) для B=0.4, 0.6 и 0.8.

2)Найдите пары (А,В), при которых наблюдаются: неподвижные точки, циклы Ц-2, Ц-3, Ц-32 и хаос.

3.2.Системы двумерных и трехмерных отображений 3.2.1. Модель "Henon" [4, c.37], [5, c.48]

Модель представляет квадратичное отображение плоскости на себя (обратимое):

Y1(n+1)=1+Y2-A1*Y1*Y1

Y2(n+1)=A2*Y1

Y1(0)=0.7, Y2(0)=0.1

1)Получите известный странный аттрактор Энона на фазовой плоскости после примерно $n_i=1000$ итераций отображения при A1=1.4 и A2=0.3; убедитесь по графикам Y1(n) и Y2(n) и их экстремумов, что решение хаотическое.

2)Варьируя параметры 0<A1<2 и 0<A2≤1, определите численно на плоскости (A1,A2) примерные границы существования странного аттрактора и его деформации, области устойчивых периодических решений и неподвижных точек.

3.2.2. Модель "Holms" [4, с.282]

Y1(n+1)=Y2

Y2(n+1)=-A1*Y1+A2*Y2-A3*Y2*Y2*Y2

Модель представляет кубичное отображение плоскости на себя. Рассмотрите начальное условие Y(0)=(0.1,0.1). Исследуйте и объясните полученные решения при A3=1, A2=2.77 и следующих значениях параметра

A1: 0.25, 0.26, 0.27, 0.3, 0.5. Найдите с пятью знаками после запятой опфуркационные значения A1, соответствующие началу и концу интервала заотической динамики.

3.2.3. Модель "Hopalong" [FRACTINT]

Y1(n+1)=Y2-sign(Y1)*sqrt(abs(A2*Y1-A3))

Y2(n+1)=A1-Y1

В качестве начальных условий используйте Y(0)=(0,0) либо (1,1).

1) Изучите динамику системы в зависимости от начальных условий и при следующих тройках А.:

Al	1	1	3	0.4	0.4	0.4
A2	1	0	1	1	1	1
A3	0	1	0	1	2	0

Объясните получающиеся решения $Y_i(n)$ и наборы точек в фазовой плоскости (n_k - 10^3 , 10^4).

2) Рассмотрите теперь Y(0)=(0.2,0.2). Что теперь наблюдается в фазовой плоскости, каково поведение экстремумов $Y_i(n)$?

3.2.4. Молель "Ginger" [FRACTINT]

Y1(n+1)=1-Y2+abs(Y1)

 $Y2(n+1)=Y1, (0 \le n \le 3000)$

Модель демонстрирует сильную зависимость решения от начальных данных Y1(0)=A1, Y2(0)=A2. При вариации параметров A1 и A2 могут возникать различные периодические решения (циклы) в плоскости (Y1,Y2) и своеобразные множества точек определенной структуры (хаотические решения). Объясните получающиеся решения для следующего набора параметров: (A1,A2)=(-1,-1), (-1,1), (1,2), (-2,2), (-1,2), (-5,5), (0,-0.1), (-0.1,0).

3.2.5. Модель "Міга"

Y1(n+1)=A2*Y2+W(Y1)

Y2(n+1)=W(Y1)-Y1,

где W(Y1)=A1*Y1+2*(1-A1)*Y1*Y1/(1+Y1*Y1).

При A2=1 и Y(0)=(0.5,0.5) рассмотрите следующие значения A1<0: - 0.1; -0.5; -0.6; -0.062; -0.065; -0.068; -1; -1.25. Поясните финальные образы (n≈5000) на фазовой плоскости, наблюдаемые бифуркации. Каков сценарий перехода к хаосу?

3.2.6. Модель "Martin"

 $Y1(n+1)=Y2-\sin(Y1)$

Y2(n+1)=A1-Y1

Y1(0)=0, Y2(0)=0.

Получите и проанализируйте возникающие множества точек на фазовой плоскости (Y1,Y2) при $n_f\approx 3000$ для следующих значений параметра A1: 1;1.57 3, 3.14, 6.28, 7, 11. Изменятся ли на плоскости финальные структуры, если взять другое начальное условие, например, Y(0)=(1,1). Есть ли среди численных решений периодические и хаотические?

3.2.7. Модель "D-torus"

Y1(n+1)=Y2+A2*Y1

Y2(n+1)=A1*Y2*(1-Y1)

 $Y(0)=(0.1,0.1), n_f=10000.$

Модель демонстрирует периодическое, квазипериодическое и хаотическое поведение при вариации параметров A1 и A2, причем при некоторых значениях хаотическое вначале решение $Y_i(n)$ становится с ростом п регулярным (эволюция "хаос - порядок"). При A1=2.2 найдите значения A2=[0.1,0.3], для которых реализуются различные типы динамики; анализируйте графики $Y_i(n)$ и множества точек на фазовой плоскости (Y1,Y2).

3.2.8. Модель "KAM torus"

Y1(n+1)=Y1*cos(A1)+(Y1*Y1-Y2)*sin(A1)

Y2(n+1)=Y1*sin(A1)-(Y1*Y1-A2*Y2)*cos(A1)

Рассмотрите следующие значения A1 при A2=1 и поясните финальные образы на фазовой плоскости (n_{R} 5-10 тыс.): ± 3.14 при Y(0)=(0.2,0.2); 1.48 при Y(0)=(-0.4,-0.4); 1.7, 1.8 и 2.0 при Y(0)=(0.4,0.4). Объясните, что происходит с решением системы, когда: 1) A1 \leq 0.849, 2)1.5 \leq A1 \leq 1.55.

3.2.9. Модель "Хищник-жертва" [9]

Простейшее отображение, описывающее взаимодействие жертвы Y1 и хищника Y2 (разностный аналог системы ОДУ, предложенной В.Вольтеррой), имеет вид:

Y1(n+1)=A1*Y1*(1-Y1)-A2*Y1*Y2

Y2(n+1)=-A3*Y2+A4*Y1*Y2-A5*Y2*Y2

Y(0)=(0.5,0.5).

Все коэффициенты A_i положительны; Y1 и Y2 - численности жертвы и хишника.

Проверьте следующие случаи динамического поведения модели при $A_1 = A_2 = 1$, $A_3 = 0.02$, $A_5 = 0.3$ и вариации $A_4 = 0.03$:

- 1) неподвижные точки для 2.5≤А4≤2.9;
- 2) цикл Ц-2 при А4=2;
- 3) цикл Ц-4 при A4=1.98 и Ц-8 при $n>n_{\text{критич}}=150$ и A4=1.94 (переход "хпос порядок"); найдите точку бифуркации Ц-4 \Rightarrow Ц-8 с 5-ю знаками в A4.
 - 4) хаос при А4=1.92 и А1=2.95;
- 5) переход "хаос-1" в "хаос-2" при $n=n_{\text{критич.}}$ (найдите это значение), когда $n>n_{\text{критич.}}$ Y2(n)=0 (вымирание хищника "усиливает" хаотическую жизнь жертвы);

3.2.10.Модель "Popcom" [FRACTINT]

Y1(n+1)=Y1-A1*sin(Y2+tan(A2*Y2))

Y2(n+1)=Y2-A1*sin(Y1+tan(A2*Y1))

Начинайте итерации от точки Y(0)=(0;1).

- 1)Наблюдайте образование структур точек в фазовой плоскости до n_e 10000 при A1=0.05 и следующих значениях A2: 0.1; 0.5; 1; 3; 5.
- 2) Что происходит с решением на финальной стадии при фиксированном значении A2 для A1=0.1; 0.5; 1?

3.2.11. Модель "Паразит - хозяин" [9]

Сообщество "паразит - хозяин" в простейшем случае можно смоделировать следующей системой отображений:

Y1(n+1)=A1*Y1*(1-Y1)-A2*Y1*Y2

Y2(n+1)=-A3*Y2+A4*Y1*Y2

 $Y(0)=(0.2;0.2); A_i>0,$

В этой системе Y1 и Y2 - числености хозяина и паразита.

Проверьте случаи динамического поведения модели при A1=4, A2=1 и вариации A3;A4.

- 1) Различные неподвижные точки при n>n_{кр.} для A4=2 и 0.15
А3<0.17596, причем для A3=0.175968 наблюдается участок хаотической динамики; найдите
 $n_{\rm kp.}$
 - 2)Цикл Ц-2 до $n_{\rm kp}$ =260, затем Y2≡0, а Y1 становится хаотично при $n>n_{\rm kp}$
- 3)При A4=3, A3=0.17597 наблюдаем динамический хаос вплоть до n=10000 по графикам Y(n) и замкнутую кривую на фазовой плоскости для 1000≤n≤10000.
- 4) При A4=3.6, A3=0.17597 возникает ограниченное множество точек (n_f =10000) на фазовой плоскости (хаос).

3.2.12. Модель "Zisook" [3, с.245]

Y1(n+1)=2*A1*Y1*(1-Y1)-Y2

Y2(n+1)=A2*Y1

Y(0)=(0.1,0.1)

Данное отображение при A2=0 превращается в одномерное логистическое и обладает всеми его необычными свойствами. Используйте это обстоятельство при тестировании двумерной системы.

1)Исследуйте поведение двумерного отображения при следующих парах

значений параметров:

Al	1.8	1.8	1.8	0.5	0.8	0.82	0.826	0.827	0.7
A2	0.05	0.02	0.01	1	1	1	1	1	0.9

2)Укажите, для каких пар (A1,A2) при $n_f \approx 5000$ наблюдаются периодические, квазипериодические и хаотические решения $Y_i(n)$. Какие точечные объекты возникают на фазовой плоскости (Y1,Y2)?

3.2.13. Модель "МЭИ-97" ([20])

Исследуйте динамику двумерной системы кубичных отображений с параметрами A1 и A2:

Y1(n+1)=-Y2+Y1*(Y1*Y1+Y2*Y2-A1)

Y2(n+1)=Y1+Y2*(Y1*Y1+Y2*Y2-A2)

1) Найдите неподвижные точки; определите их область существования и устойчивость по A1 и A2.

2)По полученным на фазовой плоскости структурам точек идентифицируйте поведение системы для Y(0)=(0.2,0.2) и следующих пар значений (A1,A2): (0,1);(1,0);(-0.1,1);(0.1,1);(1,1);(2,2);(0.36,1).

3.2.14. Модель "Pickover"

 $Y1(n+1)=\sin(A1*Y2)-Y3*\cos(A2*Y1)$

Y2(n+1)=Y3*sin(A3*Y1)-cos(A4*Y2)

 $Y3(n+1)=\sin(Y1)$

Начинать итерации трехмерного отображения можно от точек Y(0)=(0,0,0) и Y(0)=(1,1,1). Наблюдайте на фазовой плоскости возникающие множества точек для следующих наборов параметров:

(A1,A2,A3,A4) = (1, 1, -1, -1), (1, 1, 1, 1), (2, 2, -2, -2), (2, -2, 2, -2), (2.24, 0.43, -0.65, -2.43).

Имеются ли периодические и хаотические решения на финальной стадии $n_f\!pprox\!5\text{--}10$ тыс.?

3.2.15. Модель "Ikeda"

Y1(n+1)=1+A2*(Y1*cos(Y3)-Y2*sin(Y3))

Y2(n+1)=A2*(Y1*sin(Y3)+Y2*cos(Y3))

 $Y3(n+1)=A1-A3/(1+Y1^2+Y2^2)$

Y(0)=(0.1,0.1,0.1)

Получите и объясните возникающие структуры на фазовых плоскостях, итерируя 3D систему до $n \approx 5000$ для следующих наборов коэффициентов A1 и $\wedge 2$ (A3=1): (A1,A2)=(2,-1),(1,1),(2,2),(3,1),(-1,1),(4,1).

3.2.16. Модель "Diapausa" [18]

Y1(n+1)=A1*Y1+A2*Y3

Y2(n+1)=A1*Y1+(1-A1)*Y3

Y3(n+1)=A2*Y2*exp(-A3*(1-Y2))

Это модель популяции насекомых с диапаузой в дискретном времени п. В каждом поколении п выделяются 3 периода развития. Пусть Y1(n) - численность популяции в конце первого периода n-го поколения, Y2(n) - то же в конце второго периода и Y3(n) - в конце третьего периода, причем A1 ($0 \le A1 \le 1$) особей уходит в диапаузу в конце первого периода, а в третьем периоде численности особей изменяются по закону P.Мея (логистика); A2 ($0 \le A2 \le 10$) - скорость роста популяции при благоприятных условиях.

1)Исследуйте динамику системы для следующих пар значений параметров A1 и A2 (A3=-0.01):

A1: 0; 0.1; 0.2; 0.2; 0.5

A2; 10; 7.5; 7.5; 10; 3.73.

2)Идентифицируйте для каждой пары (A1,A2) множества точек (n_i =5000) на фазовой плоскости (Y1,Y2).

3) Имеются ли Р-циклы и хаотические траектории? Каков сценарий перехода к хаосу?

3.2.17. Модель "Рах"

Следующая система является простым обобщением на трехмерный случай известной модели Энона (см. 3.2.1):

Y1(n+1)=1-A1*Y1*Y1+Y2

Y2(n+1)=A2*(Y1+Y3)/2

Y3(n+1)=1-A1*Y3*Y3+Y2

В частном случае A1=A3 первое и второе уравнения совпадают, и система эквивалентна системе Энона (используйте это обстоятельство для тестирования 3D системы, получив при A1=1.4 и A2=0.3 известный странный аттрактор типа подковы).

Исследуйте динамику системы и идентифицируйте финальные ($n_f \approx 5000$) состояния для следующих значений коэффициентов A1 и A3 при A2=0.3 и начальном условии Y(0)=(0,0,0):

 A1
 1.3
 1.4
 1.1
 1.3
 1.3
 1.3

 A3
 0
 0.8
 0.8
 0.9
 0.1
 0.6

3.2.18, Модель "Ball" [4], с.282

Модель описывает движение щарика, подпрыгивающего на вибрирующем столе.

Y1(n+1) = frac((1+A1)*Y1+A2*sin(Y2))

Y2(n+1)=Y2+frac((1+A1)*Y1+A2*sin(Y2))

-1<A1<1, A2>1

Запись frac(x) означает "дробная часть x".

При A1=0 имеем консервативный случай (якобиан J=1). При A1<0 можно получить неподвижные точки, при A1>0 - квазипериодические и хаотические решения.

Идентифицируйте финальные решения (n_{i} \approx 5000) при Y(0)=(0.1,0.1) для

следующих пар коэффициентов А;:

A1	-0.01	0.01	0.01	0	0.1	0.2	0.3
A2	1.5	1.5	2	1.5	1.5	1.5	5

3.2.19. Модель "Kaplan-Yorke" [4], c.285

Y1(n+1)=frac(A2*Y1)

 $Y2(n+1)=A1*Y2+cos(2*\pi*Y1)$

 $-1 \le A1 \le 1, Y(0) = (0.1, 0.1)$

Запись frac(x) означает "дробная часть x".

- 1)Убедитесь, что при A1=0.2 и для 1<A2<2 отображение имеет странный аттрактор, меняющий форму при изменении A2.
- 2)Проверьте, что при A2=2 после примерно 40 итераций Y1 становится равным 0. В то же время расчеты вручную показывают, что при A2=2 для Y1 должен существовать цикл: например, при Y1(0)=0.1 последующие значения Y1 равны 0.2, 0.4, 0.8, 0.6, 0.2 и т.д. Объясните это несовпадение. Для этого вспомните, как представлены числа в памяти компьютера и как выполняется умножение на 2. Попробуйте исправить первое уравнение так, чтобы результаты, получаемые на ЭВМ, совпадали с расчетами вручную.
- 3)Проследите, как меняется форма странного атграктора при A1=0.2 и A2=1.01, 1.5, 3, 7, 9.
 - 4) Что происходит при А1=0.2 и А2=4, 5, 6, 8?

5)Зависит ли вид странного аттрактора при фиксированных A1 и A2 (папример, A1=0.3, A2=3) от выбора начальной точки наугад из единичного въздрата?

 $Y(n+1)=\exp(-A1)*(Y1+A2*\sin(2*\pi*Y2))$

$$Y?(n+1) = frac(Y2+A3/(2*\pi)*(1+(1-exp(-A1)/A1)*Y1)+A4/A1*sin(2*\pi*Y2))$$

Запись frac(x) означает "дробная часть x".

Известно [4], что это отображение сжимает площади при A1>0 и сохраняет их при A1=0; имеет простые и кратные неподвижные точки; кроме гого, при значениях A2<<1 и при условии

$$1 < A1/(1-exp(-A1)) < A4 = (A2*A3)/(2*\pi)$$

имеет хаотические рещения.

Поясните финальные решения (пе 5000) для следующих наборов

значений параметров A_i при Y(0)=(0.3,0.1):

1.4	4.0	4.2	4.4
A1	A2	A3	A4
1	0.3	6.28	0
0.1	0.3	6.28	0.0001
0.05	0.03	100	0.05
0.15	0.3	6.28	0.0001
0.02	0.3	6.28	0
0.001	0.7	6.28	0
0.01	0.3	6.28	0.001
0.01	0.3	6.28	0.0001

3.2.21. Модель "Intel-R" [7]

Модель описывает в государстве Анчурия динамику основных взаимодействующих ресурсов (производственных, материальных и интеллектуальных) в дискретном времени п. Вид исследуемой трехмерной системы с одним запаздывающим аргументом, обозначения переменных и параметров приведены в п.2.8 данного пособия. Наряду с краткой постановкой проблемы, в задании предлагается повторить авторские результаты и их содержательно проинтерпретировать в смысле развития общества (экономики) при следующих начальных условиях и фиксированных параметрах модели:

$$X(0)=0.05,R(0)=10,A(0)=0.01,$$

$$p_0=1.2, p_1=10, g=1, h=0.5, q=0.5, f=1.15, a=0.03, k=5, n_f=70$$

для четырех вариантов (b - уровень освоения новаций, е - уровень финансирования науки и образования):

1) b=0, е =0.01 (экономика невосприимчива к нововведениям);

- 2) b=1.5, e=0.01 (усвоение новаций достаточно);
- 3) b=1.5, e=0.005 (по сравнению с предыдущим случаем финансирования интеллектуальной сферы урезано вдвое);
- 4) b=1, e=0.015 (усвоение новаций недостаточно, финансирования интеллектуальной сферы увеличено).

3.2.22. Модель "Mandelbrot"

Квадратичное отображение комплексной плоскости на себя $Z \rightarrow Z^2 + C_{-1}$ действительных переменных имеет вид:

(Z=Y1+Y2*i, C=A1+A2*i). Задание заключается в разработке программого модуля построения области на плоскости (A1,A2), в которой решения Y1 и Y2 остаются ограниченными при любых п, т.е. требуется построить множество Мандельброта (см. 2.10). Предлагается использовать алгоритм, описанный в 2.10: выбирается прямоугольник на плоскости (A1,A2): A3≤A1≤A4, A5≤A2≤A6, он покрывается равномерной сеткой и ограниченность решения исследуется в каждой точке сетки. Точки, принадлежащие множеству Мандельброта, рекомендуется отмечать некоторым цветом A7. В качестве критерия ограниченности Q можно взять число 10⁶, максимальное количество итераций – 300.

В ходе вычислительных экспериментов варьируются размеры прямоугольника и цвет А7. Цель ВЭ - добиться наиболее эффектного изображения множества Мандельброта на экране.

3.2.23. Модель "Julia"

Задание аналогично предыдущему, но строится множество Жюлиа. Требуется разработать программный модуль построения границы той области на плоскости (Y1, Y2), в которой решения отображения

$$Y1(n+1)=Y1*Y1-Y2*Y2+A1$$

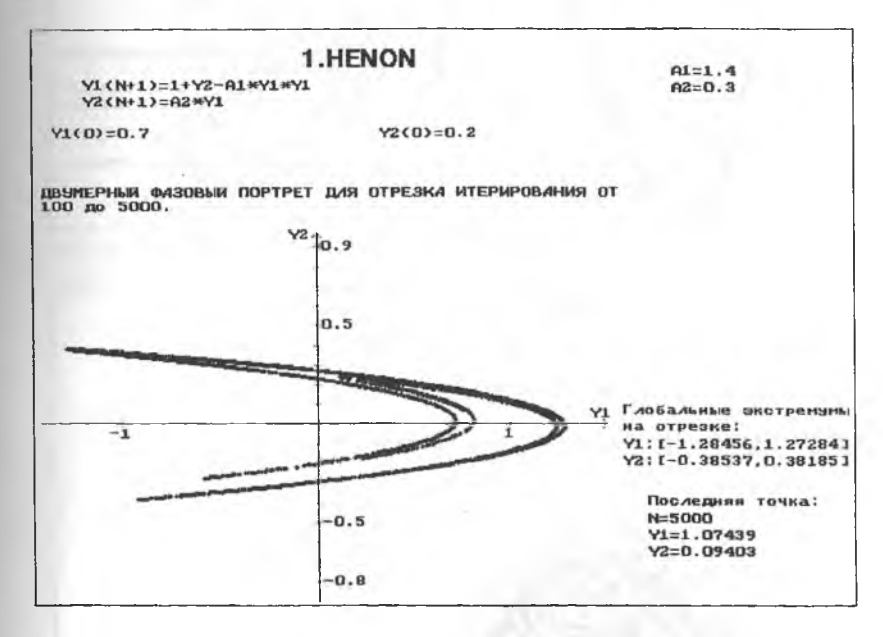
 $Y2(n+1)=2*Y1*Y2+A2$

являются неограниченными при заданной паре параметров (A1,A2) и $A3 \le Y1(0) \le A4, A5 \le Y2(0) \le A6$.

В ходе вычислительных экспериментов варьируются размеры прямоугольника и параметры A1 и A2; цель ВЭ - получить 3-4 эффектных множества Жюлиа.

Раздел 4.Иллюстративный материал (2D и 3D системы)

В этом разделе в качестве иллюстраций представлены копии графических пранов, полученных с помощью программного комплекса "Нелинейные пнамические системы" [13]. На каждой иллюстрации указаны: название модели, вид системы, значения начальных условий и параметров, значения побальных экстремумов на выбранном интервале изменения п, значения переменных на последней итерации (последняя точка) и вид множества точек фазовой плоскости. Значения начальных условий и параметров соответствуют одному из хаотических режимов, имеющихся у данной модели.



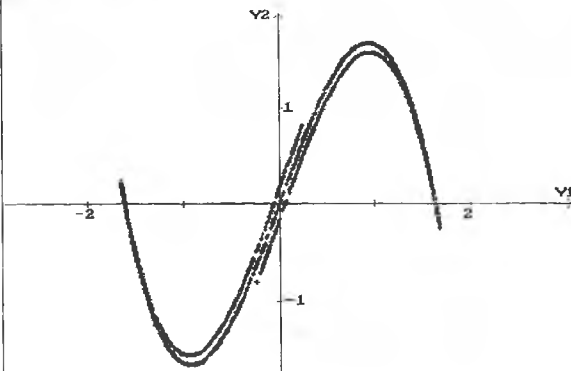
2.HOLMS

Y1(N+1)=Y2 Y2(N+1)=-A1*Y1+A2*Y2-A3*Y2*Y2*Y2 A1=0.1 A2=2.7 A3=1

Y1(0)=0.5

Y2(0)=0.1

ДВУМЕРНЫЙ ФАЗОВЫЙ ПОРТРЕТ ДЛЯ ОТРЕЗКА ИТЕРИРОВАНИЯ ОТ 100 до 3000.



У1 Глобальные экстремумы на отрезке: У1: Г-1.67035,1.670151 У2: Г-1.67035,1.670151

> Последняя точка; N=3000 Y1=1.64052 Y2=-0.07057

3.HOPALONG

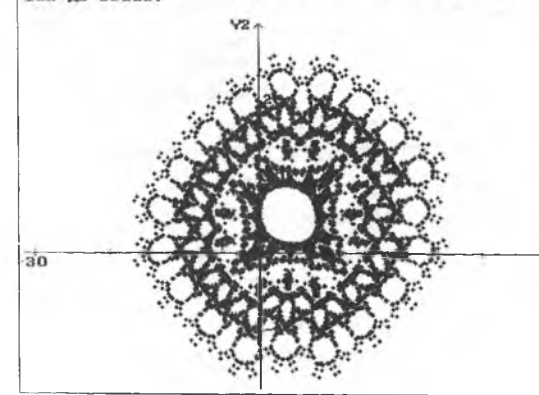
Y1(N+1)=Y2(N)-SG(Y1(N))*SQRT(ABS(A2*Y1(N)-A3))
Y2(N+1)=A1-V1(N)

A1=9 A2≈0.4 A3=3

AT(0)=T

Y2(0)=0

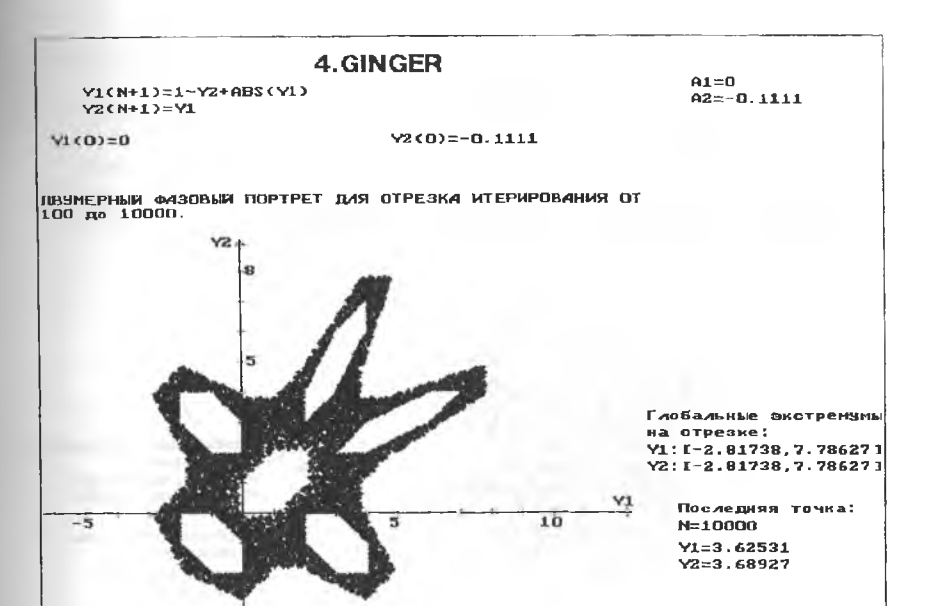
ДВУМЕРНЫЙ ФАЗОВЫЙ ПОРТРЕТ ДЛЯ ОТРЕЗКА ИТЕРИРОВАНИЯ ОТ 100 до 15000.

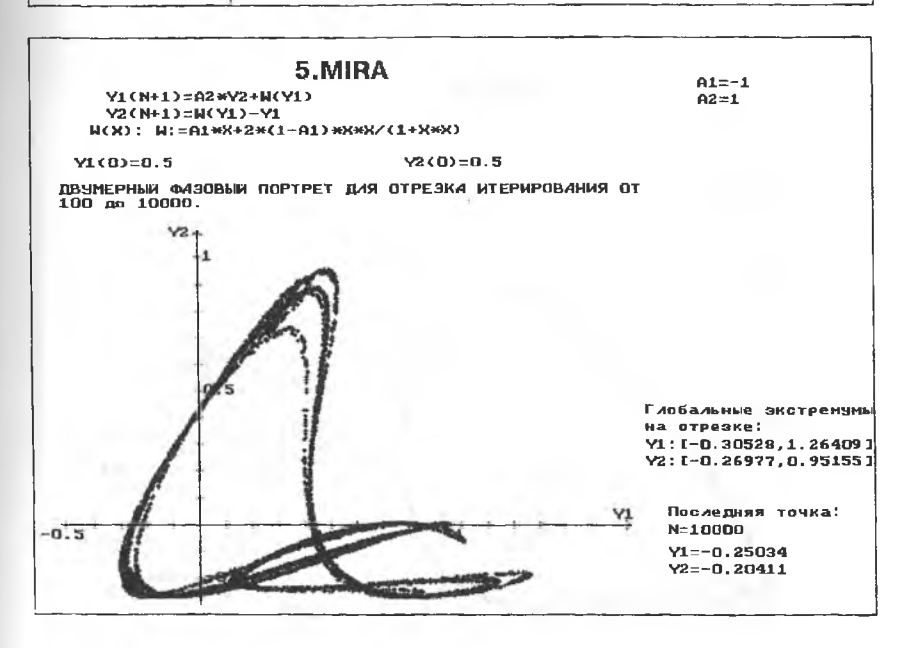


Глобальные экстренуны на отрезке:

Y1:[-16.73,25.041 Y2:[-16.04,25.73]

> Последняя точка: N=15000 Y1=-9.17344 Y2=2.60281





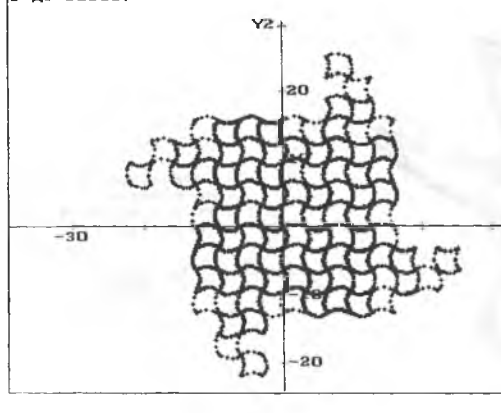
6.MARTIN

Y1(N+1)=Y2~SIN(Y1) Y2(N+1)=A1~Y1 A1=3.1

Y1(0)=0

Y2 (O) = 0

ДВУМЕРНЫЙ ФАЗОВЫЙ ПОРТРЕТ ДИЯ ОТРЕЗКА ИТЕРИРОВАНИЯ ОТ О до 20000.



Глобальные экстренуны У1 на отрезке: У1: Г-22.45,25.061 У2: Г-21.96,25.551

> Последняя точка: N=20000 Y1=4.73209 Y2=-9.91019

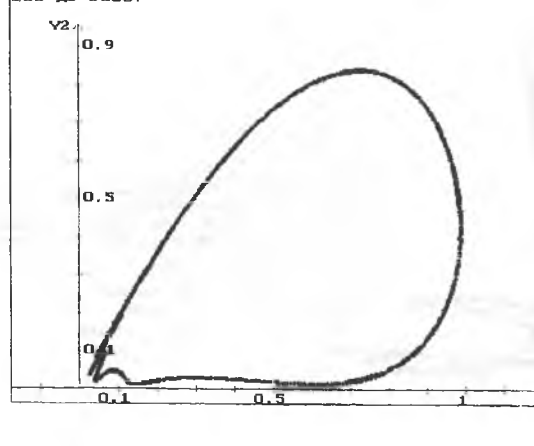
7.D-TORUS

Y1(N+1)=Y2+A2*Y1 Y2(N+1)=A1*Y2*(1-Y1) A1=2.2 A2=0.205

Y1(0)=0.1

Y2(0)=0.1

ДВУМЕРНЫЙ ФАЗОВЫЙ ПОРТРЕТ ДЛЯ ОТРЕЗКА ИТЕРИРОВАНИЯ ОТ $100~\mathrm{д}_0~5000$.



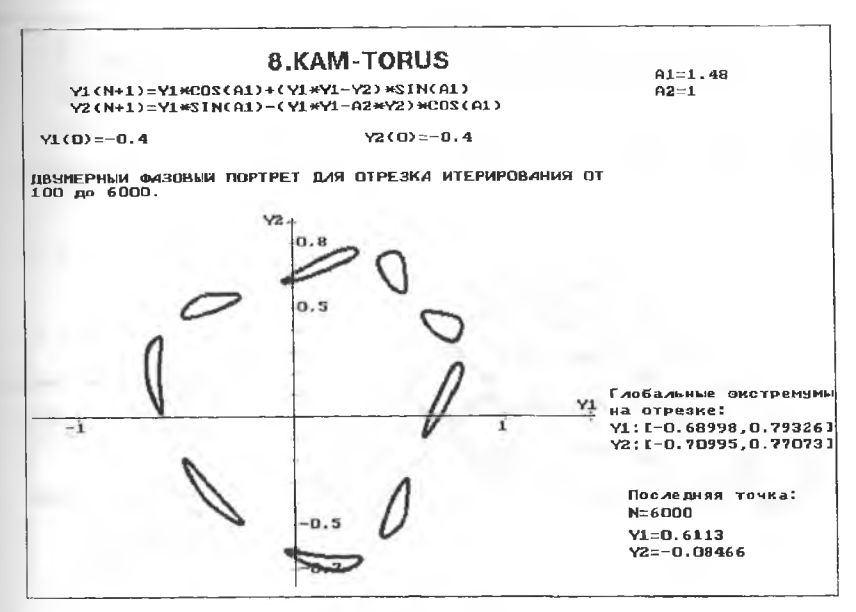
Глобальные экстремумы на отрезке;

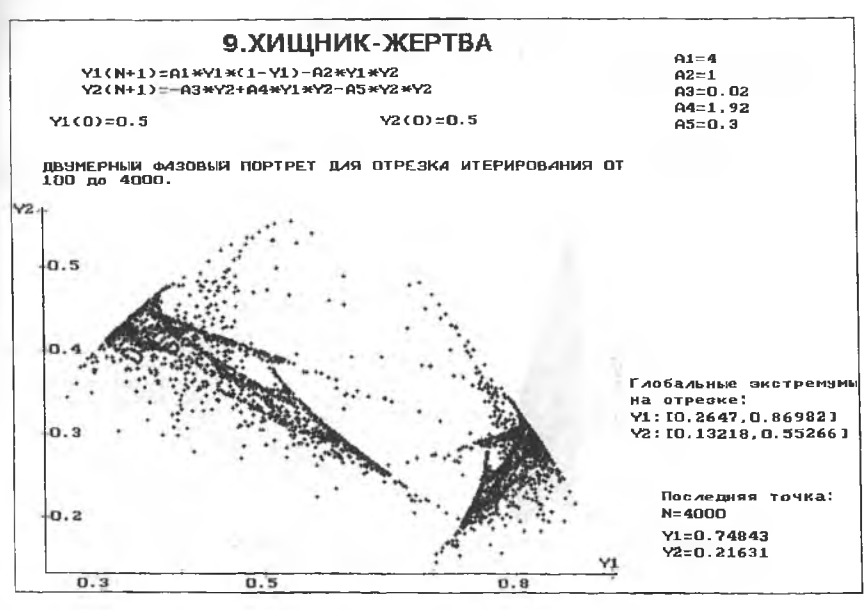
Y1: [0.02527,0.98793] Y2: [0.00924,0.83464]

> Последняя точка: N=5000

Y1=0.70864 Y2=0.01903

Y1





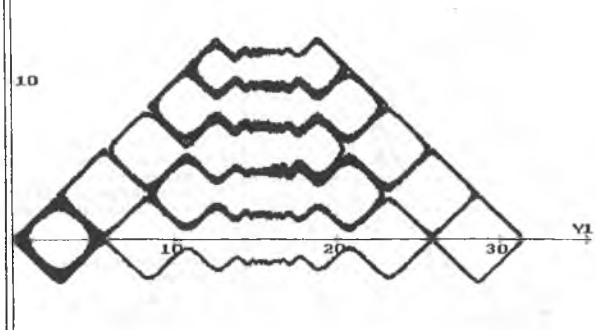
10.POPCORN

Y1(N+1)=Y1-A1*SIN(Y2+IAN(A2*Y2)) Y2(N+1)=Y2-A1*SIN(Y1+IAN(A2*Y1)) A1=0.05 A2=0.1

V1(0)=

Y2(0)=0

ДВУМЕРНЫЙ ФАЗОВЫЙ ПОРТРЕТ ДЛЯ ОТРЕЗКА ИТЕРИРОВАНИЯ ОТ О до 20000.



Глобальные экстремумы на отрезке:

Y1:10.20853,31.25] Y2:1-2.66711,12.53]

> Последняя точка: N=20000

Y1=21.75641 Y2=7.07853

11.ПАРАЗИТ-ХОЗЯИН

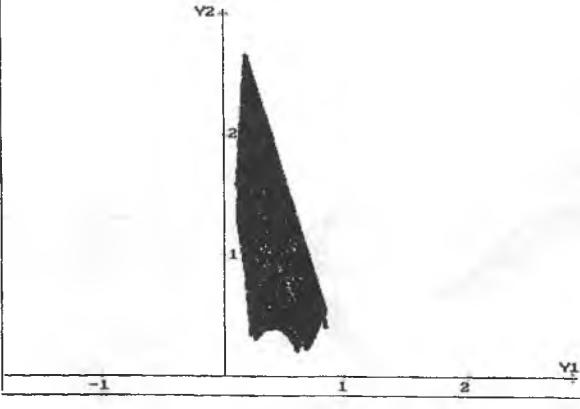
Y1(N+1)=A1*Y1*(1-Y1)-A2*Y1*Y2 Y2(N+1)=-A3*Y2+A4*Y1*Y2

YL(0)=0.2

Y2(0)=0.2

A1=4 A2=1 A3=0.17597 A4=3.6

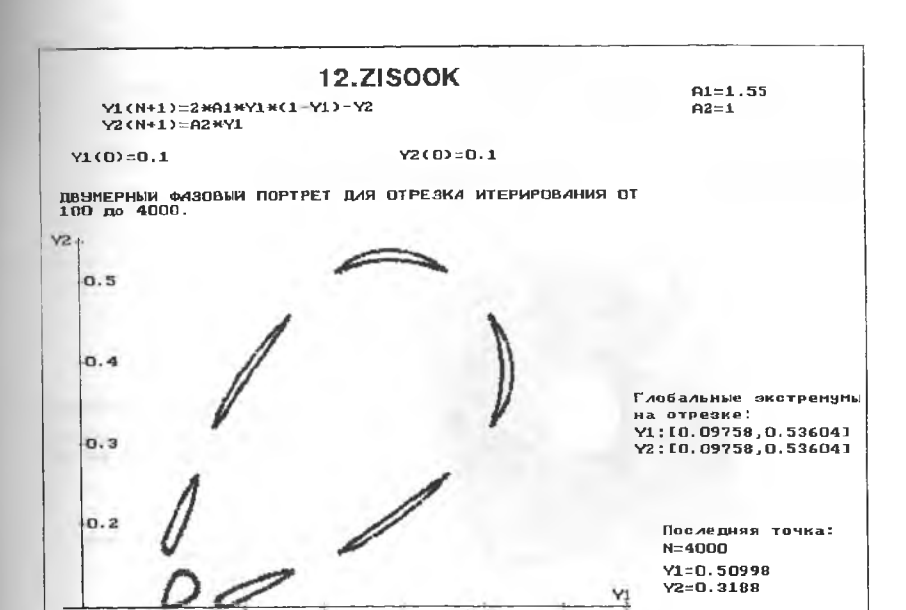
ДВУМЕРНЫЙ ФАЗОВЫЙ ПОРТРЕТ ДЛЯ ОТРЕЗКА ИТЕРИРОВАНИЯ ОТ 100 до 11000.

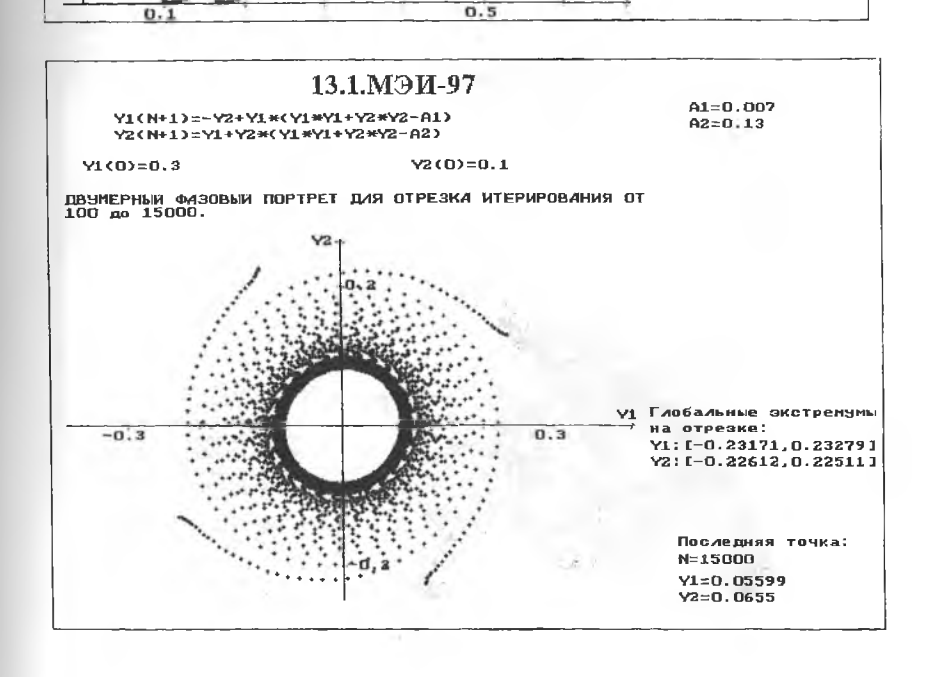


Глобальные экстремумы на отрезке:

Y1: [0.10882, 0.83744] Y2: [0.20501, 2.64787]

> Последняя точка: №11000 Y1=0.26048 Y2=0.48903





13.2.МЭИ-97

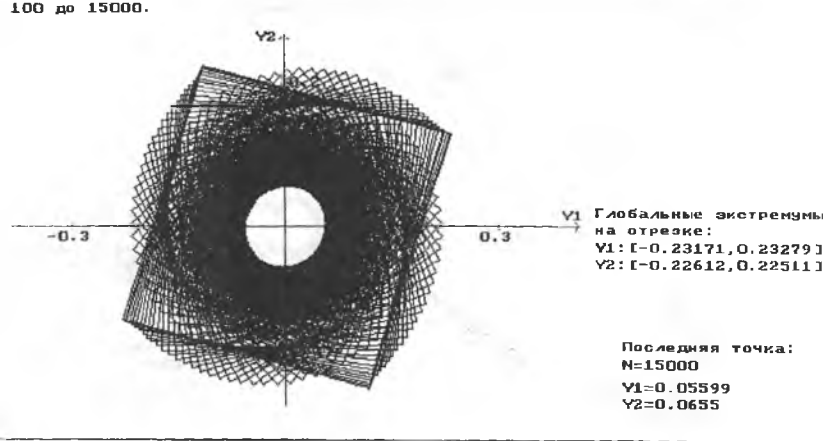
Y1(N+1)=~Y2+Y1*(Y1*Y1+Y2*Y2-A1) Y2(N+1)=Y1+Y2*(Y1*Y1+Y2*Y2-A2)

A1=0.007 A2=0.13

Y1(0)=0.3

Y2(0)=0.1

ДВУМЕРНЫЙ ФАЗОВЫЙ ПОРТРЕТ ДЛЯ ОТРЕЗКА ИТЕРИРОВАНИЯ ОТ $100~{
m ga}$



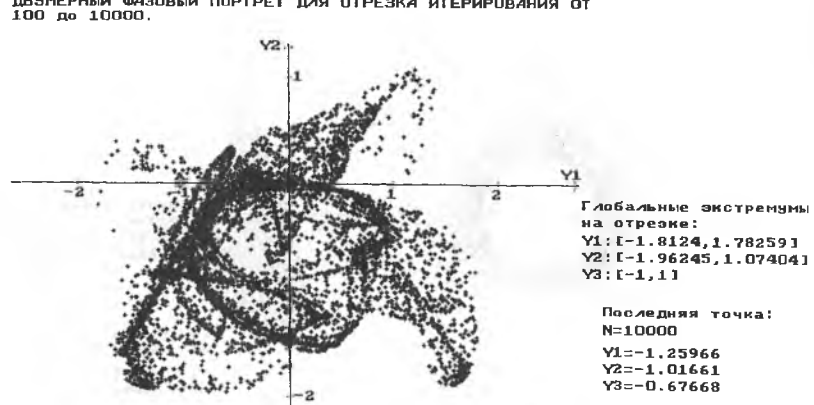


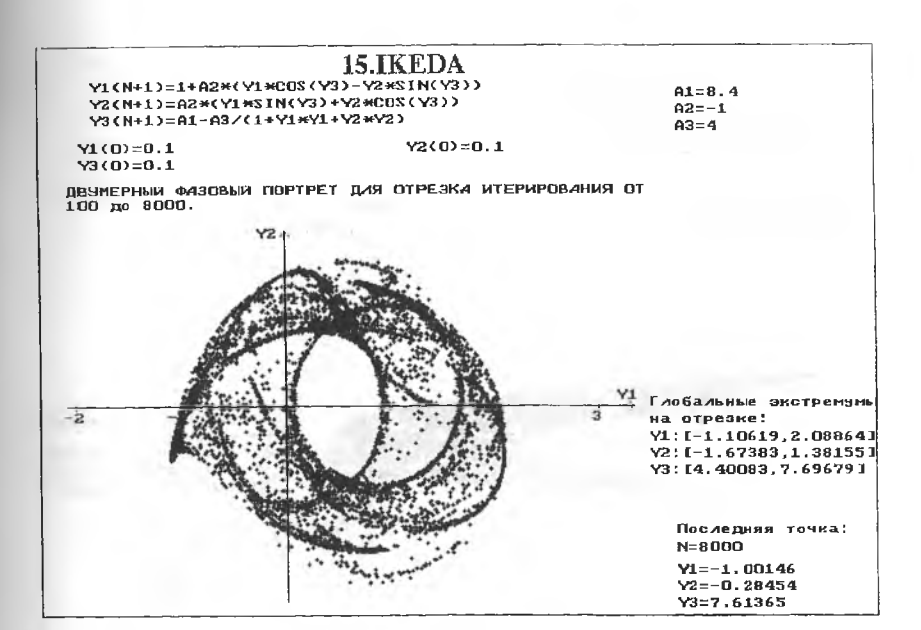
Y1(N+1)=\$IN(A1*Y2)~Y3*CO\$(A2*Y1) Y2(N+1)=Y3*SIN(A3*Y1)-COS(A4*Y2) (1Y)NI2=(1+N)EY

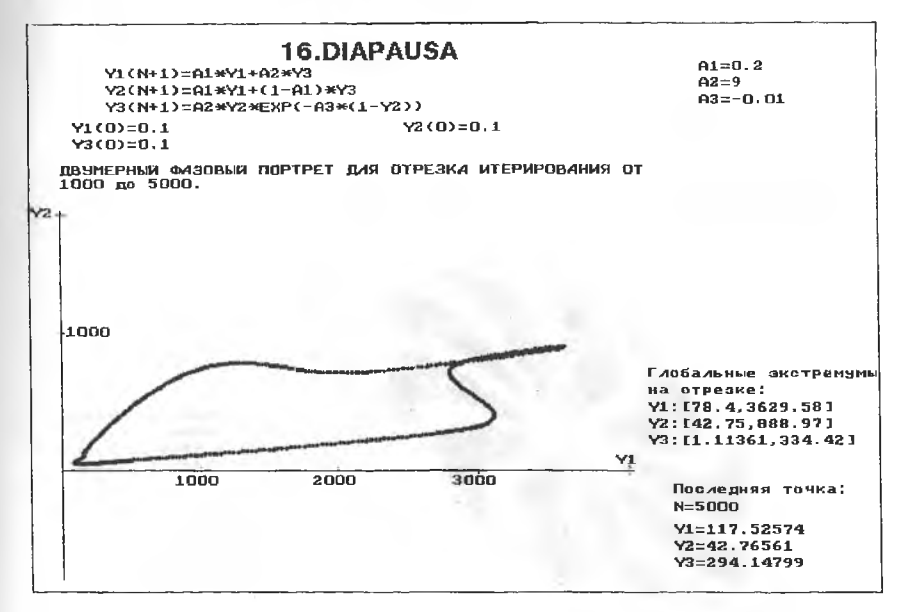
A1=2 A2=1 A3=2 A4~1

Y1. (D) =0 V3(0)=0 Y2(0)=0

ДВУМЕРНЫЙ ФАЗОВЫЙ ПОРТРЕТ ДЛЯ ОТРЕЗКА ИТЕРИРОВАНИЯ ОТ 100~10000.





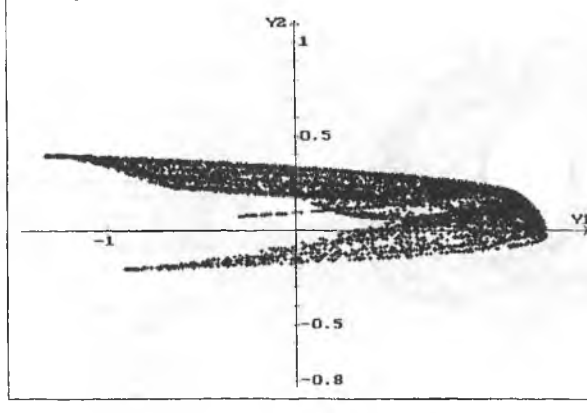


17.PAX

Y1(N+1)=1-A1*Y1*Y1+Y2 Y2(N+1)=A2*(Y1+Y3)/2 Y3(N+1)=1-A3*Y3*Y3+Y2 A1=1.3 A2=0.3 A3=0.6

Y1(0)=0 Y3(0)=0 Y2(0)=0

ДВУМЕРНЫЙ ФАЗОВЫЙ ПОРТРЕТ ДЛЯ ОТРЕЗКА ИТЕРИРОВАНИЯ ОТ 1000 до 8000.



Глобальные экстремумы на отрезке: Y1: [-1.33286,1.32977] Y2: [-0.21076,0.39772] Y3: [-0.37508,1.39677]

> Последняя точка: N=8000 Y1=0.24101 Y2=-0.06126 Y3=1.17809

18.BALL

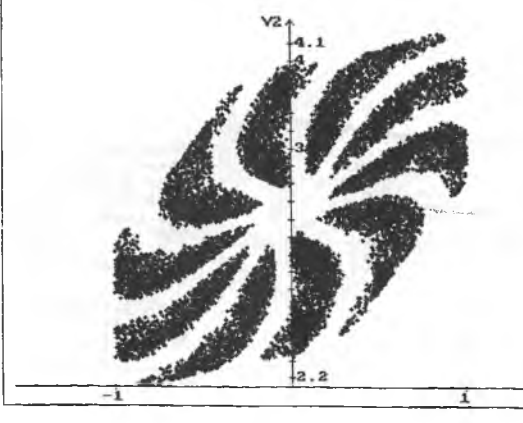
Y1(N+1)=FRAC((1+A1)*Y1+A2*SIN(Y2))
Y2(N+1)=Y2+FRAC((1+A1)*Y1+A2*SIN(Y2))

A1=0.1 A2=1.5

Y1(0)=0.1

Y2(0)=0.1

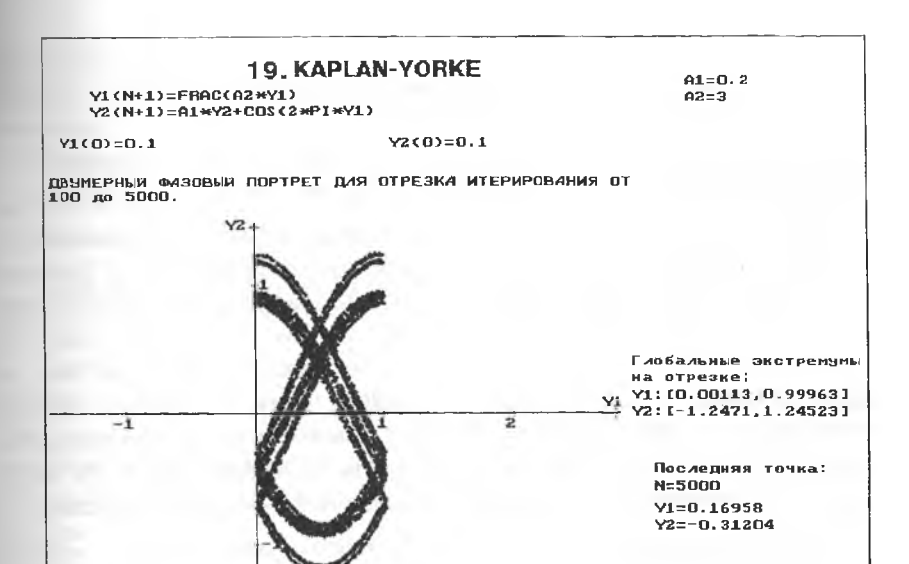
ДВУМЕРНЫЙ ФАЗОВЫЙ ПОРТРЕТ ДЛЯ ОТРЕЗКА ИТЕРИРОВАНИЯ ОТ $1000~\rm go~15000$.

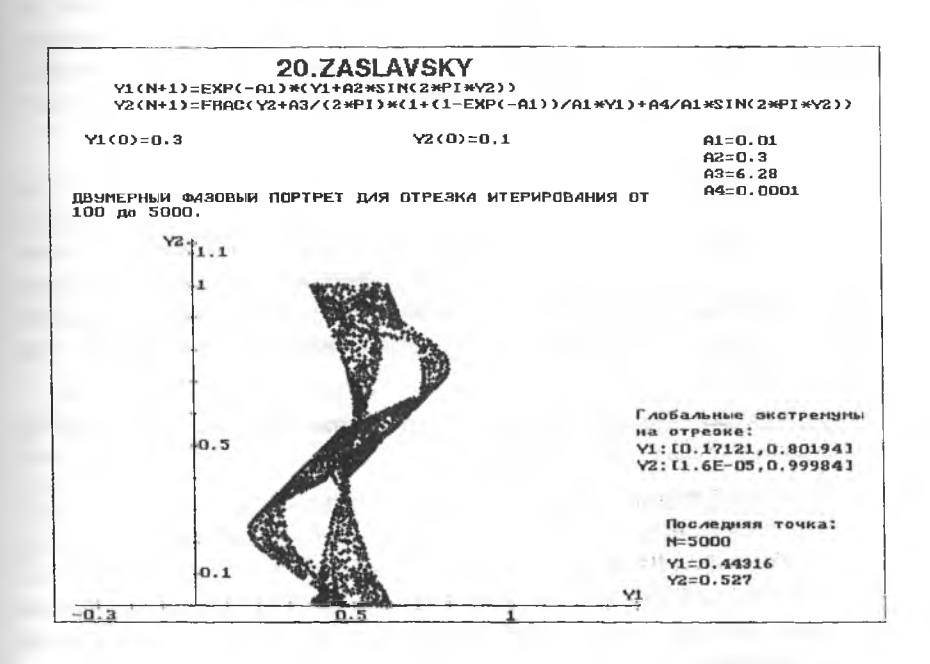


Глобальные экстренуны на отрезке: Y1:[-0.99997,0.99991] Y2:[2.1445,4.1484]

> Пос⊿едняя точка: N=15000 Y1=0.24132

Y2=3.81352





Раздел 5.Словарь терминов нелинейной динамики

Словарь составлен на основании теоретических сведений, приведенных, главным образом, в [3]-[5] и дополняет словарь учебного пособия [11].

Аттрактор - множество точек в фазовом пространстве диссипативной системы, к которому стремятся со временем (притягиваются) все фазовые траектории из некоторой области, называемой областью (бассейном) притяжения. Аттракторы подразделяются на простые (к ним относятся устойчивые: особая или неподвижная точка, предельный цикл, тор) и странные. Набор изолированных неподвижных точек не является единым аттрактором. Фазовый объем, занимаемый траекториями на произвольном аттракторе, равен нулю, поэтому размерность аттрактора меньше (а часто существенно меньше), чем размерность исходного фазового пространства.

<u>Бифуркационная диаграмма</u> - графическое представление любого характерного свойства ограниченных решений нелинейной модели как функции бифуркационного параметра. Примеры характерных свойств (на асимптотической стадии): 1) количество экстремумов решения и значение каждого экстремума; 2)значение максимального показателя Ляпунова. Свойства 1) и 2) характеризуют поведение модели и могут быть различными при различных значениях параметра.

<u>Бифуркация</u> - внезапное изменение качественного поведения решения динамической системы при достижении некоторого критического значения одним из параметров системы; такой параметр называется бифуркационным, а соответствующая точка в пространстве параметров, в которой происходит такое изменение, называется точкой бифуркации. Из точки бифуркации исходят несколько (2 или более) ветвей решения, устойчивых или неустойчивых.

<u>Бифуркация Хопфа-Андронова</u> - рождение предельного цикла из неподвижной точки (точки равновесия).

Временной (дискретный) ряд – последовательность вещественных чисел, $x_1, x_2, ..., x_n$ получаемых следующим образом. Имеется зависящий от времени сигнал x(t), непрерывный по t, который получается в результате физического эксперимента, длящегося в течение времени t^* ; делается выборка n значений x(t) через равные промежутки времени Δt , ($\Delta t = t^*/n$); в итоге имеем последовательность x_j , j = 1, 2, ..., n.

<u>Гомеоморфизм</u> - взаимно однозначное и взаимно непрерывное отображение одного множества на другое; одно из основных понятий

топологии. Примеры: функция $1/(e^x+1)$ устанавливает отображение числовой прямой на отрезок [0,1], круг гомеоморфен любому выпуклому мпогоугольнику.

<u>Петерминированная система</u> - динамическая система, для которой митематическая модель определена, начальные условия и параметры известны и не являются стохастическими (случайными).

<u>Линамические переменные</u> - набор величин, характеризующих любое состояние динамической системы.

<u>Линамические системы (ДС)</u> - системы любой природы (физической, химической, биологической, экономической и т.д.), поведение которых иддастся некоторым набором правил (алгоритмом). Наиболее часто ДС математически описываются в виде систем обыкновенных дифференциальных или разностных уравнений (обратимых, необратимых, автономных и неавтономных), и систем дифференциальных уравнений в частных производных. Область исследования теории ДС охватывает анализ всех зависящих от времени явлений.

<u>Линамический (или детерминированный) хаос</u> - нерегулярное, пеупорядоченное, непредсказуемое, кажущееся случайным поведение относительно простой динамической системы (образно: "рождение случайного из неслучайного"). Математическими моделями таких простых систем являются "маломерные" точечные нелинейные дифференциальные (N≥3) и разностные (N≥1) уравнения, где N - размерность фазового пространства.

<u>Диссипативная разностная система</u> - нелинейная система вида X_{n+1} = $f(X_n)$, размерности N, у которой якобиан J<1 (это условие эквивалентно требованию уменьшения фазового объема в пространстве R^N при n→∞ [22]).

<u>Лиссипативные структуры</u> - пространственные образования в диссипативной неравновесной среде, не изменяющиеся со временем; возникают в результате развития пространственно неоднородных неустойчивостей с их последующей стабилизацией за счет баланса между диссипативными потерями и поступлением энергии (или вещества) от источника неравновесности.

Жюлиа множество - граница той области (x,y) на комплексной Z-плоскости, точки которой при итерациях комплексно-значного отображения $Z_{n+1} = Z_n^2 + C$ (С - комплексная постоянная) стремятся к бесконечно удаленной точке; в зависимости от выбора С множество Жюлиа может быть связным (фрактальная кривая) или несвязным ("пыль" - бесконечное множество

точек); множество значений С, при которых Ж.м. связно, называется множеством Мандельброта.

<u>Изображающая точка</u> - точка в N-мерном фазовом пространстве точечной модели, соответствующая текущему состоянию динамической системы.

<u>Квазипериодическая функция</u> - функция f(t), описывающая колебания с двумя и более <u>несоизмеримыми</u> частотами (периодами). Пример $y=\sin(t)+\cos(\sqrt{3}\,t)$ - квазипериодическая функция с периодами $2*\pi$ и $2*\pi/\sqrt{3}$.

<u>Канторово множество</u> (впервые описано Георгом Кантором в 1883 г.) - пример фрактального множества. Канторово множество строится следующим образом: берется отрезок длины 1, делится на 3 равные части и выбрасывается средняя часть. Получаются 2 отрезка длиной 1/3; каждый из них снова делится на 3 равные части и выбрасываются средние части и т.д. На каждом шаге число отрезков удваивается, а их общая длина уменьшается на 1/3. В пределе полная длина Канторова множества стремится к 0, хотя его размерность d=0.63...

Консервативная разностная система - нелинейная система вида X_{n+1} = $f(X_n)$ размерности N, у которой якобиан J=1 (это условие эквивалентно требованию сохранения фазового объема в пространстве R^N при n→∞ [22]).

<u>Кривая Кох</u> (описана Хельгой фон Кох в 1904 г.) - пример фрактальной кривой: непрерывной, но нигде не дифференцируемой. Кривая Кох строится следующим образом. Берется отрезок длины 1 и делится на 3 равные части; затем средняя часть выбрасывается и вместо нее строятся 2 стороны (длиной по 1/3 каждая) равностороннего треугольника - получается 4 звена длиной 1/3. Этот процесс повторяется на каждом полученном звене многократно. В пределе получаем непрерывную кривую с ненулевой площадью. Фрактальная размерность d кривой Кох больше 1, но меньше 2.

Мандельброта множество - (описано Б.Мандельбротом в 1977 г.) - множество тех значений комплексной константы С в комплексно-значном отображении $Z_{n+1}=Z_n^2+C$, при которых множество Жюлиа связно. Доказано, что множество Мандельброта представляет собой совокупность тех значений константы С, при которых все Z_n остаются ограниченными при n→∞, если начальное условие - нулевое (0+0i).

Многообразие - подпространство фазового пространства, в котором остаются решения дифференциальных или разностных уравнений, если начальные условия были выбраны в данном подпространстве.

Модели (системы) с распределенными параметрами - математические модели, описываемые уравнениями и системами уравнений в частных производных, в которых независимыми переменными являются время и не менее одной пространственной координаты; распределенными параметрами идесь называются состояния модели, которые в каждый момент времени суть функции одной или нескольких пространственных переменных; фазовое пространство состояний имеет бесконечную размерность.

<u>Модели (системы) с сосредоточенными параметрами</u> - см. точечные динамические модели (системы).

<u>Нелинейная динамика</u> - наука, имеющая междисциплинарный характер и изучающая поведение нелинейных динамических систем (НДС) во времени и пространстве в зависимости от изменения начальных состояний и внешних воздействий, задаваемых параметрически.

<u>Нелинейность</u> - свойство любой системы со "входом" и "выходом" (или свойство математической операции), у которой сигнал на "выходе" (результат операции) не пропорционален сигналу на "входе" (величине операнда). Примеры нелинейных математических операций: $Y=C*X^n$, при $\pi\neq 0,1$; Y=|X|: $Y=\sin(X)$; Y=X*(dX/dT), $Y=C*(dX/dT)^2$.

<u>Необратимое отображение</u> - отображение из множества A в множество B, для которого у каждого элемента множества B существуют 2 и более прообразов в множестве A. Пример: логистическое отображение.

<u>Отображение</u> - математическое правило, ставящее в соответствие одному множеству точек другое множество точек; при многократном повторении (итерации) такого правила отображение аналогично системе разностных уравнений.

<u>Отображение (сечение) Пуанкаре</u> - последовательность точек в фазовом пространстве, порождаемая пересечением траектории решения системы ОДУ с поверхностью общего вида или плоскостью в том же фазовом пространстве.

Обратимое (или биективное) отображение - отображение из множества A в множество B, для которого у каждого элемента множества B существует единственный прообраз в множестве A. Если отображение есть числовая функция f(x), то для обратимости f(x) должна быть строго монотонной.

Пример: отображение вращения на угол α : $\phi \rightarrow \phi^+ \alpha$.

<u>Орбита</u> - синоним терминов: фазовая траектория, фазовая кривая. <u>Замкнутая орбита</u> в пространстве R^N топологически может представлять собой окружность или эллипс и тогда она называется <u>однооборотной</u>, либо спираль и тогда она называется <u>многооборотной</u>. Парадигма - концептуальная физическая или математическая модель, которая охватывает основные свойства целого класса задач. Парадигмами нелинейной динамики являются три модели: 1)система ОДУ Э.Лоренца (1963 г.), 2)логистическое разностное уравнение М.Фейгенбаума (1978 г.), 3)двумерное отображение Энона (1976 г.)

<u>Перемежаемость</u> - тип хаотического поведения динамической системы, при котором длительные временные интервалы определенной регулярной эволюции (например, периодического или квазипериодического движения) сменяются короткими по времени и как бы случайными всплесками; интервалы между всплесками и длительность последних непредсказуемы.

<u>Переходный хаос</u> - поведение динамической системы, которое на конечном интервале времени выглядит как хаотическое (т.е. траектории как бы движутся по странному аттрактору), но затем траектория выходит на один из простых аттракторов и там остается при $t \rightarrow \infty$.

Показатели Ляпунова - одно из средств количественной характеристики аттракторов; это - N чисел, служащих мерой экспоненциального сближения или разбегания со временем двух соседних траекторий в фазовом пространстве размерности N с различными начальными условиями; максимальный ляпуновский показатель определяется формулой L=lim $log_2(r(t)/r(0))$ при t→∞, где r(t) - расстояние между траекториями в момент времени t. При L>0 поведение хаотично, при L≤0 - регулярно.

<u>Предельный цикл</u> - один из аттракторов <u>диссипативной</u> системы ОДУ; соответствует устойчивому периодическому решению.

Репеллеры - множество точек в фазовом пространстве диссипативной системы, от которых отталкиваются все или почти все соседние фазовые трасктории. Простейшими репеллерами являются: неустойчивая неподвижная (особая) точка, неустойчивый цикл, неустойчивый тор. Фазовый объем, занимаемый траекториями на репеллерах (как и на аттракторах) равен нулю, т.е. размерность репеллера меньше размерности исходного фазового пространства. Пример: репеллеры для отображения $x_{n+1} = x_n * abs(x_n)$ - это неподвижные точки $x = \pm 1$.

Самоорганизация - процесс установления из неупорядоченного, хаотичного состояния <u>писсипативных</u> систем (даже очень сложных) упорядоченного, регулярного, предсказуемого поведения во времени или определенной структуры в пространстве, иногда вопреки различным флуктуациям и шумам.

<u>Сигнал</u> - некоторая физическая величина, изменяющаяся во времени; обсспечивает передачу информации. Пример: акустические и электромагнитные колебания.

Синергетика - недавно появившийся новый термин (его ввел Г.Хакен в 70 х годах); пока не имеет общепринятого определения. Впервые термином "синергетика" стала называться теория кооперативных явлений в задачах лазерной техники: постепенно синергетика приобрела статус более общей незамкнутые, нелинейные. неустойчивые. описывающей нерархические системы. В настоящее время существуют две концепции синергетики. Синергетика в узком смысле - научная дисциплина, изучающая пеобратимый динамический хаос и возникновение упорядоченных (точнее диссипативных) структур в открытых системах за счет взаимодействия со средой. В широком смысле синергетику понимают как молодое направление пелинейной динамики или как междисциплинарный подход в изучении эволюции и самоорганизации сложных систем мира. Синергетика объединяет достижения современного нелинейного и системного анализа, кибернетики, геометрии фракталов, теорий динамического хаоса и диссипативных структрур.

<u>Странный аттрактор</u> - притягивающее множество в фазовом пространстве диссипативной системы, по которому движутся хаотические траектории; впервые термин введен Д.Рюэлем и Ф.Такенсом в 1971 г.; они определили С.а. как произведение многообразия на Канторово множество; по Б.Мандельброту - С.а. - это фрактал.

Странный аттрактор, являясь аттрактором, занимает ограниченную область фазового пространства; он состоит как бы из одной траектории без самопересечений, т.е. хаотическая траектория с течением времени должна пройти через каждую точку аттрактора; необычность (сгранность) такого аттрактора - в обладании свойством чувствительной зависимости от начальных условий (ЧЗНУ), взятых на С.а.

<u>Топологическая эквивалентность</u> потоков $\{f^{t}\}$ и $\{g^{t}\}$ - свойство, означающее, что существует гомеоморфизм $h:R^{N} \rightarrow R^{N}$, переводящий поток $\{f^{t}\}$ в поток $\{g^{t}\}$. Отображение h переводит фазовые траектории одного потока в фазовые траектории другого потока.

Топология - раздел математики. Предмет топологии - исследование свойств фигур и их взаимного расположения, сохраняющихся гомеоморфизмами. Главная задача топологии - выделение и изучение топологических инвариантов (например, связность, размерность,

компактность), сохраняющихся любыми <u>гомеоморфизмами</u> одного топологического пространства на другое.

Top - тело в пространстве R^N , образуемое вращением в R^N шара размерности N-1 вокруг прямой, лежащей в гиперплоскости шара, но не пересекающей его. Приблизительно форму тора в пространстве R^3 имеют, например, баранка, бублик, спасательный круг. Иногда поверхность, ограничивающую тор, также называют тором. T^{N-1} - обозначение тора в R^N .

Точечные динамические модели (системы) - математические модели, описываемые конечным числом обыкновенных дифференциальных уравнений или разностных уравнений (итерируемых отображений), в которых независимой переменной является время t - непрерывное или дискретное, а зависимыми переменными - состояния модели. В научной литературе по нелинейной динамике точечные модели иногда называют моделями с сосредоточенными параметрами (состояниями) в отличие от моделей с распределенными параметрами; последние модели описываются уравнениями в частных производных.

Траектория на торе T^2 - двоякопериодическое решение нелинейной динамической системы с двумя основными частотами f_1 и f_2 ; одно из возможных параметрических представлений траектории на T^2 имеет вид: $y_i = a_i * \sin(2*\pi*f_1*t + \alpha_i) + b_i * \sin(2*\pi*f_2*t + \beta_i)$, где $a_i, b_i, \alpha_i, \beta_i$ - вещественные константы, i = 1, 2, 3, (y_1, y_2, y_3) - координаты в фазовом пространстве R^3 .

Фазовая точка - см. изображающая точка.

<u>Фазовая траектория</u> - последовательные положения (след движения) изображающей точки точечной динамической модели в фазовом пространстве для всех моментов времени; описывает эволюцию модели.

<u>Фазовое пространство</u> - пространство динамических переменных, полностью определяющих поведение ДС (фазой в XIX веке называлось состояние системы в момент времени t).

<u>Фазовый портрет</u> - структура разбиения фазового пространства динамической системы на фазовые траектории; математический образ эволюции ДС. Геометрическое изображение отдельных состояний (например, периодических и хаотических) позволяет определить поведение ДС в зависимости от значений параметров (см.[3]).

<u>Фазовый поток</u> - отображение сдвига (или оператор эволюции) F^{-1} : $\Phi \to \Phi$, где $F(t,x_0)$ - решение системы ОДУ x=f(x) с фазовым пространством Φ ; этот оператор переводит систему из состояния x_0 , в котором она

паходилась в момент времени t_0 , в состояние в момент времени t: $F^t x_0 = x(t)$; функцию f(x) называют векторным полем фазовой скорости данной пламической системы с фазовым пространством $\Phi \subseteq R^N$.

Флуктуации - некоторые неконтролируемые воздействия на ДС.

<u>Фрактал</u> - новый термин; пока не имеет четкого определения. По М. Мандельброту (ввел термин в 60-х годах) фрактал - это структура, состоящая из частей, которые в каком-то смысле подобны целому. Различают гометрические, регулярные фракталы (примеры: фигуры Х.Кох, множества Кантора, Мандельброта, Жюлиа) и естественные, природные - зернистые, морщинистые, гидроподобные образования (примеры: береговые линии, кораллы, облака, пористые среды, трещины). <u>Регулярный фрактал</u> представляет собой множество точек в N-мерном пространстве, обладающее геометрическим свойством самоподобия при различных масштабах и нецелой метрической (фрактальной) размерностью, меньшей, чем N (см. [4]). <u>Фракталы в нелинейной динамике</u> - типичные стохастические структуры на странных аттракторах - сложных, многолистных множествах, напоминающих лабиринты или запутанные клубки.

<u>ЧЗНУ (чувствительная зависимость от начальных условий)</u> - свойство диссипативной динамической системы, обладающей хаотическим поведением; оно означает, что первоначально сколь угодно близкие траектории на странном аттракторе со временем разбегаются по экспоненциальному закону, оставаясь на странном аттракторе.

Эволюционный процесс - процесс, изменяющийся во времени.

Эффект бабочки - свойство необычайно чувствительной зависимости динамической системы от малых возмущений в случае неустойчивости; эффект отмечен и так назван Э.Лоренцем применительно к проблеме долгосрочного прогноза погоды (ассоциация с событиями одного из рассказов Р.Бредбери). Аналогичен свойству ЧЗНУ.

частные производные 1-го порядка по всем x_i . Абсолютная величина $\|J\|$ характеризует растяжение (сжатие) элементарного объема при переходе от

переменных x_j к переменным y_j . Например, при каждой итерации N-мерных отображений N-мерные объемы умножаются на коэффициент |J|: при |J|<1 они уменьшаются, при |J|>1 - увеличиваются, а при |J|=1 - остаются без изменений.

Литература

- 1. Самарский А.А., Михайлов А.П. Математическое моделирование. Идеи. Методы. Примеры. М.: Наука, Физматлит, 1997.
- 2. Динамические системы. М.: Изд-во ВИНИТИ. (Итоги науки и техники. Сер.Современные проблемы математики. Фундаментальные направления.) т.т. 1 4, 1985; т.5, 1986.
- 3. Неймарк Ю.Й., Ланда П.С. Стохастические и хаотические колебания. М.: Наука. 1987.
- 4. Мун Ф. Хаотические колебания. М.: Мир, 1992.
- 5. Берже П., Помо И., Видаль К. Порядок в хаосе. О детерминистском подходе к турбулентности. М.: Мир, 1991.
- 6. Лоскутов А.Ю., Михайлов А.С. Введение в синергетику. М.: Наука, 1990.
- 7. Капица С.П., Курдюмов С.П., Малинецкий Г.Г. Синергетика и прогнозы будущего. М.: Наука, 1997.
- 8. Петров А.А. Экономика. Модели. Вычислительный эксперимент. М.: Наука, 1997.
- 9. Малинецкий Г.Г. Задачи по курсу нелинейной динамики. М.: ИПМ им. М.В.Келдыша. Препринт №62, 1995.
- 10. Малинецкий Г.Г. Хаос, структуры, вычислительный эксперимент. Введение в нелинейную динамику. М.: Наука, 1997.
- 11. Павлов Б.М. Вычислительный практикум по исследованию нелинейных динамических систем (самоорганизация во времени). М.: МГУ им. М.В.Ломоносова, 1996.
- 12.Павлов Б.М., Новиков М.Д., Лысенко В.Б. Автоматизированные практикумы в обучении информатике и прикладной математике. Тр. IV Международной конференции "Математика. Компьютер. Образование", 1997, с. 200-202.
- 13.Павлов Б.М., Новиков М.Д. Программный комплекс для изучения нелинейных математических моделей. "Математика. Компьютер. Образование". Под редакцией Г.Ю.Ризниченко. Вып. 5. Часть 1. М.: Изд-во Прогресс-Традиция, 1998, с. 80-85.
- 14. Неймарк Ю.И. Метод точечных отображений в теории нелинейных колебаний. М.: Наука, 1972.
- 15. Ризниченко Г.Ю., Рубин А.Б. Математические модели биологических продукционных процессов. Учебное пособие. М.: Изд-во МГУ, 1993.
- 16. Марчук Г.И. Математические модели в иммунологии. Вычислительные методы и эксперименты. М.: Наука, 1991.

- 17. Колесов А.Ю., Колесов Ю.С. Релаксационные колебания в математических моделях экологии. Труды Математического ин-та им. В.А.Стеклова, СХСІХ. М.: Наука, 1993.
- 18.Осипов В.И. Дискретная модель динамики популяции с диапаузой. В кн "Математические модели в экологии и генетике". М.: Наука, 1981, сс.103-104.
- 19. Колупаев А.Г., Чернавский Д.С. Моделирование систем с перемешиванием на персональном компьютере. Тезисы V Международной конференции "Математика. Компьютер. Образование". Дубна, 26-30 января 1998, с. 98.
- 20. Морозов К.А., Мякишев Ю.В. Одномерные и двумерные итерации. Тезисы V Международной конференции "Математика. Компьютер. Образование". Дубна, 26-30 января 1998, с.143.
- 21. Березин И.С., Жидков Н.П. Методы вычислений. Том 2. М.: Изд-во физ.-мат. литературы, 1962.
- 22. Ланда П.С. Нелинейные колебания и волны. М.:Наука, Физматлит, 1997.
- 23. Арнольд В.И. Обыкновенные дифференциальные уравнения (изд-во 3-е). М.: Наука, 1984.
- 24. Эрроусмит Д., Плейс К. Обыкновенные дифференциальные уравнения (качественная теория с приложениями). М.: Изд-во ПЛАТОН. 1997.
- 25. Бутенин Н.В., Неймарк Ю.Й., Фуфаев Н.А. Введение в теорию нелинейных колебаний. М.: Наука, 1987.
- 26. Тюрин Ю.Н., Макаров А.А. Статистический анализ данных на компьютере. ... М.:ИНФРА-М. 1998.
- 27. Князева Е.Н., Курдюмов С.П. Законы эволюции и самоорганизации сложных систем. М.: Наука, 1994.
- 28. Федер Е. Фракталы. М.: Мир, 1991.
- 29. Каданов Л.П. Пути к хаосу. /Физика за рубежом. 85. М.: Мир., 1985.
- 30. Форсайт Дж., Малькольм М., Моулер К. Машинные методы математических вычислений. М.:Мир, 1980.

